

## Campos elétricos



Um Transrapid Maglev estacionado em uma estação de Rangi, no Chile. Maglev é uma forma alternativa do termo em inglês magnetic levitation (levitação magnética). Esse tipo de trem não tem contato físico com as trilhas, seu peso é totalmente suportado por forças eletromagnéticas. Nesta parte do livro, estudaremos essas forças. <https://iStockphoto.com>

Vamos estudar o ramo da física que trata dos fenômenos elétricos e magnéticos. As leis da Eletricidade e do Magnetismo têm um papel central no funcionamento de smartphones, televisores, motores elétricos, computadores, aceleradores de alta energia e outros dispositivos eletrônicos. Em um plano mais fundamental, as forças interatômicas e intermoleculares responsáveis pela formação dos sólidos e líquidos são elétricas por natureza.

Evidências encontradas em documentos chineses sugerem que o Magnetismo foi observado em 2000 a.C. Os gregos antigos observaram fenômenos elétricos e magnéticos possivelmente por volta de 700 a.C. Eles conheciam as forças magnéticas graças a observações que indicavam que a magnetita ( $Fe_3O_4$ ), minério que ocorre de modo natural, é atraída pelo ferro (pétreo veni de elektron, palavra grega para “âmbar”, magnético vem de Magnésia, o nome da região da Grécia onde a magnetita foi descoberta).

Somente no começo do século XIX os cientistas determinaram que Eletricidade e Magnetismo são fenômenos relacionados. Em 1820, Hans Christian descobriu que a ponta de uma bússola é defletida quando colocada próximo de um circuito conduzindo corrente elétrica. Em 1831, Michael Faraday e, quase simultaneamente, Joseph Henry demonstraram que, ao posicionarmos um fio metálico perto de um ímã (ou, de modo equivalente, quando um ímã é colocado próximo a um fio metálico), uma corrente elétrica é estabelecida no fio. Em 1873, James Clerk Maxwell baseou-se nessas observações e em outros fatos experimentais para formular as leis do eletromagnetismo como as conhecemos hoje (eletromagnetismo é o nome dado ao estudo combinado da Eletricidade e do Magnetismo).

As contribuições de Maxwell no campo do Eletromagnetismo foram especialmente importantes, porque as leis formuladas formam a base de todas as formas de fenômenos eletromagnéticos. Seu trabalho é tão importante quanto o de Newton, que formulou as leis do movimento e a teoria da gravitação. ■

- 1.1 Propriedades das cargas elétricas
- 1.2 Carga de objetos por indução
- 1.3 Lei de Coulomb
- 1.4 Modelo de Análise: partícula em um campo (pétreo veni)
- 1.5 Campo elétrico de uma distribuição contínua de cargas
- 1.6 Linhas de campo elétrico
- 1.7 Movimento de uma partícula carregada em um campo elétrico uniforme

Neste capítulo, começaremos o estudo do **Eletromagnetismo**. O primeiro link que faremos com nosso estudo anterior é o conceito de força. A força eletromagnética entre as partículas carregadas é uma das forças fundamentais da natureza. Iniciaremos pela descrição de algumas propriedades básicas da manifestação da força eletromagnética, a força elétrica. Depois, discutiremos a Lei de Coulomb, a lei fundamental que descreve a força elétrica entre quaisquer duas partículas carregadas. Na próxima etapa, introduziremos o conceito de um campo elétrico associado a uma distribuição de cargas e descobriremos seu efeito sobre outras partículas carregadas. Na sequência, demonstraremos como aplicar a Lei de Coulomb para calcular o campo elétrico a uma determinada distribuição de cargas. O capítulo será concluído com uma discussão sobre o movimento de uma partícula carregada em um campo elétrico uniforme.

O segundo link entre o magnetismo e nosso estudo anterior é feito por meio do conceito de energia. Discutiremos esta conexão no Capítulo 3 deste volume.

### 1.1 Propriedades das cargas elétricas

Vários experimentos simples demonstram a existência das forças elétricas. Por exemplo, após esfregar um balão em seu cabelo em um dia seco, você notará que o balão atrai fragmentos de papel. Muitas vezes, a força atrativa é forte o suficiente para fazer o papel pular acima do balão.

Quando os materiais assim se comportam, diz-se que estão **eletrizados**, ou que se tornaram **eletricamente carregados**. Você pode eletrizar o corpo facilmente, ao esfregar vigorosa-



Esta jovem está se divertindo com os efeitos de carregar eletricamente seu corpo. Cada fio de cabelo em sua cabeça fica carregado e exerce uma força repulsiva nos outros fios de cabelo, resultando nos cabelos eriçados, vistos aqui. (Ted Kinsman / Science Source/Getty Photo Library)



Figura 1.1 A carga elétrica entre (a) objetos carregados com cargas opostas e (b) objetos carregados com cargas iguais.

mesmo os sapatos em um tapete de lã e detectar a presença de carga elétrica em seu corpo tocando ligeiramente (e surpreendendo) um amigo. Sob as condições adequadas, você verá uma física ao tocar a pessoa, e os dois sentirão uma leve picada (experimentos como este funcionam melhor em um dia seco, porque uma quantidade de umidade excessiva no ar pode fazer com que qualquer carga acumulada no corpo “vaze” para a Terra).

Uma série de experimentos simples mostrou que existem dois tipos de carga elétrica, nomeadas **positiva** e **negativa** por Benjamin Franklin (1706-1790). Os elétrons são identificados por possuírem carga negativa, e os prótons, por serem positivamente carregados. Para confirmar a existência de dois tipos de carga, suponha que uma barra de borracha rígida tenha sido esfregada em um pedaço de pele e esteja suspensa por uma corda, como mostra a Figura 1.1. Quando uma barra de vidro é esfregada em um retalho de seda e colocada próximo de uma barra de borracha, as duas peças se atraem (Fig. 1.1a). Por outro lado, se duas barras de borracha (ou vidro) carregadas são colocadas uma próxima da outra, como mostra a Figura 1.1b, as duas se repelem. Essa observação mostra que a borracha e o vidro possuem dois tipos de carga diferentes. Com base nesses resultados, concluímos que cargas de mesmo sinal se repelem, e cargas de sinais opostos se atraem.

De acordo com a convenção proposta por Franklin, a carga elétrica na barra de vidro é chamada positiva, e a carga na barra de borracha, negativa. Dessa forma, qualquer objeto carregado atraído por uma barra de borracha carregada (ou repellido por uma barra de vidro carregada) deve ter uma carga positiva, e qualquer objeto carregado repellido por uma barra de borracha carregada (ou atraído por uma barra de vidro carregada) deve ter uma carga negativa.

Outro aspecto importante da Eletricidade, evidenciado pelas observações experimentais, é o fato de que a **carga elétrica é sempre conservada** em um sistema isolado, isto é, quando um objeto é esfregado contra outro, a carga não é criada no processo. O estado eletrificado é estabelecido pela **transferência** de carga de um objeto para outro. Um objeto ganha uma quantidade de cargas negativas, enquanto o outro, quantidade igual de cargas positivas. Por exemplo, quando uma barra de vidro é esfregada num retalho de seda, como mostra a Figura 1.2, este ganha uma carga negativa igual em módulo à positiva na barra de vidro. Análogamente, graças ao mesmo mecanismo sobre a estrutura atômica, sabemos que os elétrons são transferidos do vidro para a seda quando estes são esfregados uma contra o outro. De modo similar, quando uma peça de borracha é esfregada num pedaço de pele, elétrons são transferidos da pele para a borracha, estabelecendo uma carga negativa líquida na borracha e positiva líquida na pele. Esse processo ocorre porque a matéria neutra não carregada contém quantidades iguais de cargas positivas (prótons no centro dos átomos) e negativas (elétrons). A conservação da carga elétrica para um sistema isolado é como a conservação da energia, o momento e o momento angular, mas não identificamos um modelo de análise para esse princípio de conservação porque ele não é utilizado com frequência suficiente na solução matemática de problemas.

Em 1009, Robert Millikan (1868-1953) descobriu que a carga elétrica sempre ocorre na forma de múltiplos inteiros de uma quantidade de carga fundamental e (consulte a Seção 3.7 deste volume). Aplicando termos modernos, diz-

Por causa da conservação da carga, cada elétron adquire uma carga negativa na seda e uma positiva equivalente é deixada na barra de vidro.



Figura 1.2 Quando uma barra de vidro é esfregada em seda, elétrons são transferidos do vidro para a seda.

#### ◀ Carga elétrica é conservada



Figura 1.3 Carga de um objeto neutro por indução. (a) Elétron mostra neutro. (b) Uma barra de borracha carregada é colocada próxima de esfera. (c) A esfera é aterrada. (d) A conexão de aterramento é removida. (e) A barra é removida.

mos que a carga elétrica é **enviada**, sendo  $q$  o símbolo padrão utilizado para carga como uma variável. Em outras palavras, a carga elétrica existe na forma de “pacotes” discretos, e podemos escrever  $q = nN_e$ , onde  $N$  é um valor inteiro. Outros experimentos no mesmo período demonstraram que o elétron tem uma carga  $-e$  e o próton, carga de módulo igual mas de sinal oposto,  $+e$ . Algumas partículas, como o nêutron, não possuem carga.

**Teste Rápido 1.3** Três corpos são colocados próximos um do outro, dois de cada vez. Quando A e B são colocados juntos, se repelem, assim como B e C. Quando as afirmações a seguir são verificadas? (a) A e C têm cargas de mesmo sinal. (b) A e C têm cargas de sinais opostos. (c) Todos os três corpos possuem cargas de mesmo sinal. (d) Um corpo é neutro. (e) Outros experimentos devem ser conduzidos para a determinação do sinal das cargas.

## 1.2 Carga de objetos por indução

É conveniente classificar os materiais de acordo com a capacidade de os elétrons se moverem através deles:

**Condutores** elétricos são materiais nos quais alguns elétrons são livres,<sup>1</sup> não estão ligados aos átomos e podem se mover de modo relativamente livre. Exatamente elétricos são materiais nos quais todos os elétrons estão ligados aos átomos e não podem se mover livremente.

Materiais como vidro, borracha e madeira são parte pertencem à categoria dos isolantes elétricos. Quando carregados por atrito, apenas a área esfregada se torna carregada, e as partículas carregadas não são capazes de se deslocar para outras partes do material.

Em contraste, materiais como cobre, alumínio e prata são bons condutores elétricos. Quando uma pequena parte desses materiais é carregada, a carga se distribui imediatamente sobre toda a superfície.

Semicondutores são outra terceira classe de materiais, e suas propriedades elétricas são uma combinação entre as dos isolantes e as dos condutores. O silício e o germânio são exemplos bem conhecidos de semicondutores comumente utilizados na fabricação de uma variedade de chips eletrônicos utilizados em computadores, telefones celulares e sistemas de *home theater*. As propriedades elétricas dos semicondutores podem ser alteradas em muitas ordens de grandeza por meio da adição de quantidades controladas de determinados átomos aos materiais.

Para entender como carregar um condutor por meio do processo chamado **indução**, considere uma esfera condutora neutra não carregada isolada do aterramento, como mostra a Figura 1.3a. Escrita um número igual de elétrons e prótons nela, caso sua carga seja exatamente igual a zero. Quando uma barra de borracha negativamente carregada é colocada próximo da esfera, os elétrons na região mais próxima à barra são repellidos por uma força repulsiva e migram para o lado oposto da esfera. Essa migração deixa o lado da esfera próximo da barra com uma carga efetiva positiva, estabelecida pelo menor número de elétrons, como mostra a Figura 1.3b (o lado esquerdo da esfera na Figura 1.3b fica carregado positivamente, como se as cargas positivas tivessem se deslocado para essa região). Entretanto, lembre-se de que apenas os elétrons estão livres para se mover. Esse processo ocorre mesmo que a barra nunca toque na esfera. Se o mesmo experimento for realizado com um fio condutor ligado a esfera à Terra (Fig. 1.3c), alguns dos elétrons no condutor serão repellidos com tanta intensidade pela presença da carga negativa na barra que saíro da esfera através do fio em direção à Terra. O símbolo  $\ominus$  na extremidade do fio na

<sup>1</sup> Uma forma de medir como um material elétricos interiores, frequentemente ligado ao átomo. Quando muitos átomos se combinam para formar um sólido, os elétrons começam a mover-se livremente, que não estão ligados a átomos individuais. Esse se movem no sentido contrário ao do movimento da água deslocada em um rio rapidamente.



**Figura 1.4** (a) O bastão carregado é posicionado próximo de uma parede isolante. (b) A barra carregada é colocada próxima de fragmentos de papel.

Figura 1.3c indica a conexão com a Terra, isto é, um reservatório, como a Terra, que pode receber ou fornecer elétrons de modo livre com um efeito desprezível sobre suas características físicas. Se o fio terra for removido (Fig. 1.3d), a esfera condutora conterá um excesso de cargas positivas indesejadas, pois terá menos elétrons que o necessário para cancelar a carga positiva das prótons. Quando a barra de borracha é removida da vizinhança da esfera (Fig. 1.3e), essa carga positiva indesejada permanece na esfera não aterrada. Observe que, durante esse processo, a barra de borracha não perde nenhuma carga negativa.

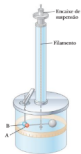
Carregar um objeto por indução não requer o contato com outro que induza carga. Isto contrasta com a carga de um objeto por atrito (isto é, por *contato*), que requer o contato entre os dois.

Um processo similar à indução em condutores ocorre em isolantes. Na maioria das moléculas neutras, o centro de cargas positivas coincide com o de cargas negativas. Entretanto, na presença de um objeto carregado, esses centros dentro de cada molécula em um isolante podem se deslocar ligeiramente, resultando um número maior de cargas positivas em um lado da molécula. Esse realinhamento de cargas em cada molécula produz uma camada de carga na superfície do isolante, como mostra a Figura 1.4a. A proximidade das cargas positivas na superfície do objeto e das cargas negativas na superfície do isolante resulta em uma força atrativa entre o objeto e o isolante. Sem contatos físicos, essa indução em isolantes devem apalpar-lo a explicar por que uma barra carregada atrai fragmentos de papel eletricamente neutros, como mostra a Figura 1.4b.

**Teste Rápido 1.2** Três corpos são colocados próximos um do outro, dois de cada vez. Quando A e B são colocados juntos, atraem-se. Quando colocados juntos, B e C se repelem. Quais das afirmações a seguir são necessariamente verdadeiras? (a) A e C têm cargas de mesmo sinal. (b) A e C têm cargas de sinais opostos. (c) Todos os três corpos possuem cargas de mesmo sinal. (d) Um corpo é neutro. (e) Outros experimentos devem ser realizados para a determinação de informações sobre as cargas nos corpos.

### 1.3 Lei de Coulomb

Charles Coulomb mediu as intensidades das forças elétricas entre corpos carregados utilizando uma balança de torção inventada por ele (Fig. 1.5). O princípio de funcionamento da balança de torção é o mesmo do aparelho utilizado por Cavendish para medir a densidade da Terra (consulte a Seção 12.1, do Volume 1), com esferas elétricas neutras trocadas por esferas carregadas. A força elétrica entre as esferas carregadas A e B na Figura 1.5 faz com que as esferas se atraiam ou se repilam, e o movimento resultante torce o fio suspenso. Uma vez que o torque de restauração do fio torcido é proporcional ao seu ângulo de rotação, a medida desse ângulo fornece um valor quantitativo da força de atração ou repulsão elétrica. Após as esferas terem sido carregadas por atrito, a força elétrica entre elas será muito grande em comparação com a atração gravitacional, de modo que a força gravitacional poderá ser desprezada.



**Figura 1.5** Balança de torção de Coulomb, utilizada para estabelecer a lei do inverso do quadrado para a força elétrica entre duas cargas.

Com base nos experimentos de Coulomb, podemos generalizar as propriedades da força elétrica (às vezes chamada *força eletrostática*) entre duas partículas carregadas estacionárias. Utilizamos o termo *carga pontual* para nos referir a uma partícula carregada de dimensões iguais a zero. O comportamento elétrico dos elétrons e prótons é mais bem descrito quando essas partículas são modeladas como cargas pontuais. Observações experimentais nos mostram que o módulo da força elétrica (às vezes chamada *força de Coulomb*) entre duas cargas pontuais é dado pela Lei de Coulomb.

**Lei de Coulomb**

$$F_e = k_e \frac{|q_1 q_2|}{r^2} \quad (1.1)$$

onde  $k_e$  é uma constante chamada *constante de Coulomb*. Em seus experimentos, Coulomb foi capaz de demonstrar que o valor do expoente de  $r$  era 2 com uma pequena incerteza percentual. Experimentos modernos demonstraram que o expoente é 2 com uma incerteza de poucas partes em  $10^8$ . Outros também indicam que a força elétrica, assim como a gravitacional, é conservativa.

O valor da constante de Coulomb depende das unidades escolhidas. A unidade do SI para a carga é o coulomb (C). A constante de Coulomb  $k_e$ , em unidades do SI tem o valor

$$\text{Constante de Coulomb} \quad k_e = 8,9876 \times 10^9 \text{ N} \cdot \text{m}^2/\text{C}^2 \quad (1.2)$$

Essa constante também é expressa na forma

$$k_e = \frac{1}{4\pi\epsilon_0} \quad (1.3)$$

onde a constante  $\epsilon_0$  (letra grega *épsilon*) é conhecida como *permissividade do espaço livre*, e tem o valor

$$\epsilon_0 = 8,8542 \times 10^{-12} \text{ C}^2/\text{N} \cdot \text{m}^2 \quad (1.4)$$

A menor unidade de carga livre e conhecida na natureza,<sup>2</sup> a carga de um elétron ( $-e$ ) ou um próton ( $+e$ ), tem um módulo dado por

$$e = 1,60218 \times 10^{-19} \text{ C} \quad (1.5)$$

**Charles Coulomb**  
**Físico francês (1736-1806)**

As principais contribuições de Coulomb para a física foram nas áreas da eletrostática e do magnetismo. Durante sua vida, Coulomb também investigou a resistência dos materiais, contribuindo para o campo da mecânica estrutural. Na engenharia, sua pesquisa estabeleceu os modos pelos quais pessoas e animais podem trabalhar melhor.

Portanto, 1 C de carga é igual a aproximadamente a carga de  $6,24 \times 10^{18}$  elétrons ou prótons. Esse número é muito pequeno quando comparado com o de elétrons livres em 1 cm<sup>3</sup> de cobre, que é da ordem de  $10^{23}$ . Não obstante, 1 C é uma quantidade substancial de carga. Em experimentos típicos nos quais uma barra de borracha ou vidro é carregada por atrito, uma carga líquida da ordem de  $10^{-6}$  C é obtida. Em outras palavras, apenas uma fração muito pequena da carga total disponível é transferida entre a barra e o material utilizado para esfregá-la.

As cargas e as massas do elétron, do próton e do nêutron estão relacionadas na Tabela 1.1. Observe que elétrons e prótons são similares no que se refere ao módulo de sua carga, mas vastamente diferentes em se tratando de sua massa. Por outro lado, próton e nêutron são similares em massa, mas muito diferentes em carga. O Capítulo 12 do Volume 4 nos ajudará a entender essas propriedades interessantes.

**TABELA 1.1** Carga e massa do elétron, do próton e do nêutron

Partícula	Carga (C)	Massa (kg)
Elétron (e)	$-1,6021765 \times 10^{-19}$	$9,1094 \times 10^{-31}$
Próton (p)	$+1,6021765 \times 10^{-19}$	$1,67262 \times 10^{-27}$
Nêutron (n)	0	$1,67493 \times 10^{-27}$

<sup>2</sup> Menor unidade de carga menor que  $e$  foi descoberta em uma partícula *WIMP*. Entretanto, ao tratar essas questões a respeito de partículas chamadas *quarks*, que possuem cargas  $+\frac{1}{3}e$  e  $-\frac{2}{3}e$ . Apesar das barreiras físicas experimentais consideráveis na medição da sua partícula em múltiplos estados, quarks livres nunca foram descobertos. Discutiremos essas propriedades em detalhes no Capítulo 12 do Volume 4 desta edição.

### Exemplo 1.1 O átomo de hidrogênio

O elétron e o próton de um átomo de hidrogênio estão separados (em média) por uma distância de aproximadamente  $5,3 \times 10^{-11}$  m. Determine o módulo das forças elétrica e gravitacional entre as duas partículas.

#### SOLUÇÃO

**Conceitualização** Considere as duas partículas mencionadas no enunciado do problema, separadas por uma distância muito pequena. No Capítulo 13 do Volume 1, vimos que a força gravitacional entre um elétron e um próton é muito pequena em comparação com a força elétrica entre eles, desse modo, esperamos que seja esse o caso com os resultados deste exemplo.

**Categorização** As forças elétrica e gravitacional serão determinadas por meio da aplicação de leis universais, de modo que categorizemos este exemplo como de substituição.

Utilize a Lei de Coulomb para calcular o módulo da força elétrica:

$$F_e = k_e \frac{|q_1 q_2|}{r^2} = (8,988 \times 10^9 \text{ N} \cdot \text{m}^2/\text{C}^2) \frac{(1,60 \times 10^{-19} \text{ C})^2}{(5,3 \times 10^{-11} \text{ m})^2} \\ = 8,2 \times 10^{-9} \text{ N}$$

Aplique a lei da gravitação universal de Newton e a Tabela 1.1 (as massas de partículas) para determinar o módulo da força gravitacional:

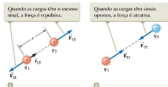
$$F_g = G \frac{m_1 m_2}{r^2} \\ = (6,674 \times 10^{-11} \text{ N} \cdot \text{m}^2/\text{kg}^2) \frac{(9,11 \times 10^{-31} \text{ kg})(1,67 \times 10^{-27} \text{ kg})}{(5,3 \times 10^{-11} \text{ m})^2} \\ = 3,6 \times 10^{-47} \text{ N}$$

A proporção  $F_e/F_g \approx 2 \times 10^{38}$ . Portanto, a força gravitacional entre as partículas atômicas carregadas é desprezível quando comparada com a força elétrica. Note a similaridade entre as formas das leis da gravitação universal de Newton e das forças elétricas de Coulomb. Além da diferença de módulo das forças entre as partículas elementares, qual é outra diferença fundamental entre as duas forças?

Ao trabalhar com a Lei de Coulomb, lembre-se de que a força é uma grandeza vetorial, e deve ser tratada como tal. Essa lei, expressa na forma vetorial para a força elétrica exercida por uma carga  $q_1$  sobre uma segunda carga  $q_2$ , representada por  $\vec{F}_{12}$ :

$$\vec{F}_{12} = k_e \frac{q_1 q_2}{r^2} \hat{r}_{12} \quad (1.6) \quad \leftarrow \text{Forma vetorial da Lei de Coulomb}$$

onde  $\hat{r}_{12}$  é um vetor unitário direcionado de  $q_1$  a  $q_2$ , como mostra a Figura 1.6a. Uma vez que a força elétrica obedece à Terceira Lei de Newton, a exercida por  $q_1$  sobre  $q_2$  é igual em módulo à exercida por  $q_2$  sobre  $q_1$  e tem sentido oposto, isto é,  $\vec{F}_{21} = -\vec{F}_{12}$ . Finalmente, a Equação 1.6 mostra que se  $q_1$  e  $q_2$  têm o mesmo sinal, como na Figura 1.6a, o produto  $q_1 q_2$  é positivo, e a força elétrica em uma partícula é direcionada no sentido oposto ao da outra. Se  $q_1$  e  $q_2$  possuem sinais opostos, como mostra a Figura 1.6b, o produto  $q_1 q_2$  é negativo, e a força elétrica em uma partícula é direcionada no sentido da outra. Esses sinais descrevem o sentido relativo da força, mas não o sentido absoluto. Um produto negativo indica uma



**Figura 1.6** Duas cargas pontuais separadas por uma distância  $r$  como uma única força atua sobre a outra, definida pela Lei de Coulomb. A força  $F_{12}$  exercida por  $q_1$  sobre  $q_2$  é igual em módulo e de sentido oposto à força  $F_{21}$  exercida por  $q_2$  sobre  $q_1$ .

força atrativa, e um produto positivo, uma força repulsiva. O sentido absoluto da força em uma carga depende da localização da outra. Por exemplo, se um eixo  $x$  contém as duas cargas na Figura 1.6a, o produto  $q_1 q_2$  é positivo, mas  $\vec{F}_{12}$  aponta no sentido  $+x$ , e  $\vec{F}_{21}$  no sentido  $-x$  negativo.

Quando existem mais de duas cargas, a força entre quaisquer pares de cargas é expressa pela Equação 1.6. Portanto, a força resultante em qualquer delas é igual à soma vetorial das forças exercidas pelas outras cargas individuais. Por exemplo, na presença de quatro cargas, a força resultante exercida pelas partículas 2, 3 e 4 sobre a 1 é

$$\vec{F}_1 = \vec{F}_{12} + \vec{F}_{13} + \vec{F}_{14}$$

**Teste Rápido 1.3** O objeto A possui uma carga de  $+2 \mu\text{C}$  e o B, de  $+6 \mu\text{C}$ . Qual afirmação é verdadeira acerca das forças elétricas aplicadas aos objetos? (a)  $\vec{F}_{AB} = -\vec{F}_{BA}$  (b)  $\vec{F}_{AB} = -\vec{F}_{BA}$  (c)  $2\vec{F}_{AB} = -\vec{F}_{BA}$  (d)  $\vec{F}_{AB} = 2\vec{F}_{BA}$  (e)  $\vec{F}_{AB} = \vec{F}_{BA}$  (f)  $2\vec{F}_{AB} = \vec{F}_{BA}$

### Exemplo 1.2 Determine a força resultante

Considere três cargas pontuais localizadas nos vértices de um triângulo retângulo, como mostra a Figura 1.7, onde  $q_1 = q_2 = 3,00 \mu\text{C}$ ,  $q_3 = -2,00 \mu\text{C}$  e  $a = 0,100$  m. Determine a força resultante exercida sobre  $q_1$ .

#### SOLUÇÃO

**Conceitualização** Considere a força resultante aplicada a  $q_1$ . Uma vez que está próxima de outras duas cargas, a  $q_2$  será afetada por duas forças elétricas. Essas forças são exercidas em sentidos diferentes, como mostra a Figura 1.7. Com base nas forças mostradas na figura, estime a direção do vetor de força líquida.

**Categorização** Sendo que duas forças são aplicadas à carga  $q_1$ , categorizemos este exemplo como um problema de adição vetorial.

**Análise** O sentido de cada força exercida por  $q_2$  e  $q_3$  sobre  $q_1$  é mostrada na Figura 1.7. A força  $\vec{F}_{21}$  exercida por  $q_2$  sobre  $q_1$  é atrativa, pois  $q_2$  e  $q_1$  têm sinais opostos. No sistema de coordenadas mostrado na Figura 1.7, a força atrativa  $\vec{F}_{21}$  aponta para a esquerda (no sentido negativo de  $x$ ).

A força  $\vec{F}_{31}$  exercida por  $q_3$  sobre  $q_1$  é repulsiva, pois ambas as cargas são positivas. A força repulsiva  $\vec{F}_{31}$  forma um ângulo de  $45,0^\circ$  com o eixo  $x$ .

Utilize a Equação 1.1 para determinar o módulo de  $\vec{F}_{12}$ :

$$F_{12} = k_e \frac{|q_1 q_2|}{r^2} \\ = (8,988 \times 10^9 \text{ N} \cdot \text{m}^2/\text{C}^2) \frac{(2,00 \times 10^{-6} \text{ C})(3,00 \times 10^{-6} \text{ C})}{(0,100 \text{ m})^2} = 8,99 \text{ N}$$

Determine o módulo da força  $\vec{F}_{13}$ :

$$F_{13} = k_e \frac{|q_1 q_3|}{r^2} \\ = (8,988 \times 10^9 \text{ N} \cdot \text{m}^2/\text{C}^2) \frac{(3,00 \times 10^{-6} \text{ C})(2,00 \times 10^{-6} \text{ C})}{?(0,100 \text{ m})^2} = 11,2 \text{ N}$$

Determine as componentes  $x$  e  $y$  da força  $\vec{F}_{12}$ :

$$F_{12x} = (11,2 \text{ N}) \cos 45,0^\circ = 7,94 \text{ N} \\ F_{12y} = (11,2 \text{ N}) \sin 45,0^\circ = 7,94 \text{ N}$$

Determine as componentes da força resultante que atua sobre  $q_1$ :

$$F_{1x} = 11,2 \text{ N} - F_{12x} = 7,94 \text{ N} + (-4,99 \text{ N}) = -1,04 \text{ N} \\ F_{1y} = 11,2 \text{ N} + F_{12y} = 7,94 \text{ N} + 0 = 7,94 \text{ N}$$

Expresse a força resultante que atua sobre  $q_1$  na forma de vetor unitário:

$$\vec{F}_1 = (-1,04\hat{i} + 7,94\hat{j}) \text{ N}$$



**Figura 1.7** (Exemplo 1.2) A força exercida por  $q_2$  sobre  $q_1$  é  $\vec{F}_{21}$ . A força exercida por  $q_3$  sobre  $q_1$  é  $\vec{F}_{31}$ . A força resultante  $\vec{F}_1$  exercida sobre  $q_1$  é a soma vetorial  $\vec{F}_{21} + \vec{F}_{31}$ .

## 1.2 cont.

**Finalização** A força resultante sobre  $q_2$  é direcionada para cima e para a esquerda na Figura 1.7. Se  $q_2$  se mover em resposta à força resultante, as distâncias entre  $q_2$  e as outras cargas mudam, de modo que a força resultante muda. Portanto, se estiver livre para se deslocar,  $q_2$  poderá ser modelado como uma partícula sob uma força resultante, se reconhecermos que a força exercida sobre  $q_2$  não é constante. Lembre-se de que indicamos a maioria dos valores numéricos com três dígitos significativos, o que leva a operações como  $1,04 \text{ N} + (-0,899 \text{ N}) = 0,14 \text{ N}$  mostradas na página anterior. Se aplicarmos mais dígitos significativos a todos os resultados intermediários, obteremos que a operação está correta.

**EXERCÍCIO** E se o sinal de todas as três cargas fosse invertido? Como isso afetaria o resultado para  $\vec{F}_2$ ?

**Resposta** A carga  $q_2$  ainda seria atraída pela  $q_1$  e repelida por  $q_3$ , com forças de mesmo módulo. Assim, o resultado final para  $\vec{F}_2$  seria o mesmo.

## Exemplo 1.3 Onde a força resultante é zero? MA

Três cargas pontuais estão localizadas no eixo  $x$ , como mostra a Figura 1.8. A carga positiva  $q_1 = 15,0 \mu\text{C}$  está em  $x = 2,00 \text{ m}$ , a  $q_2 = 6,00 \mu\text{C}$  em  $x = 0$  e a carga resultante sobre  $q_3$  é zero. Qual é a coordenada  $x$  de  $q_3$ ?

## SOLUÇÃO

**Conceitualização** Por se localizar próxima a outras duas cargas,  $q_3$  é afetada por duas forças elétricas. No entanto, diferente do exemplo anterior, as forças são aplicadas na mesma linha neste problema, como indicado na Figura 1.8. Uma vez que  $q_1$  é negativa e  $q_2$  e  $q_3$  são positivas, as forças  $\vec{F}_{13}$  e  $\vec{F}_{23}$  são ambas atrativas. Uma vez que  $q_3$  é a carga menor, a posição de  $q_3$  na qual a força é zero deve estar mais próxima de  $q_2$  do que de  $q_1$ .

**Categorização** Sendo a força resultante sobre  $q_3$  igual a zero, modelamos a carga pontual como uma partícula em equilíbrio.

**Análise** Escreva uma expressão para a força resultante na carga  $q_3$  quando essa está em equilíbrio:

$$\vec{F}_3 = \vec{F}_{13} + \vec{F}_{23} = -k \frac{|q_1||q_3|}{x^2} \hat{i} + k \frac{|q_2||q_3|}{(2,00-x)^2} \hat{i} = 0$$

Moza o segundo termo para o lado direito da equação e iguale os coeficientes do vetor unitário  $\hat{i}$ :

$$k \frac{|q_1||q_3|}{x^2} = k \frac{|q_2||q_3|}{(2,00-x)^2}$$

Elimine  $k$  e  $|q_3|$  e redefina a equação:

$$(2,00-x)^2 = x^2 \frac{|q_2|}{|q_1|}$$

Obtenha a raiz quadrada de ambos os lados da equação:

$$(2,00-x) = x \sqrt{\frac{|q_2|}{|q_1|}}$$

Resolva para  $x$ :

$$x = \frac{2,00 \sqrt{|q_1|}}{\sqrt{|q_1|} \pm \sqrt{|q_2|}}$$

Substitua valores numéricos, escolhendo o sinal de mais:

$$x = \frac{2,00 \sqrt{6,00 \times 10^{-6} \text{ C}}}{\sqrt{6,00 \times 10^{-6} \text{ C}} + \sqrt{15,0 \times 10^{-6} \text{ C}}} = 0,773 \text{ m}$$

**Finalização** Observe que a carga menor está mais próxima de  $q_2$ , conforme previsto na etapa Conceitualização. A segunda solução para a equação (se escolhermos o sinal negativo) é  $x = 3,44 \text{ m}$ . Este é outro local em que as intensidades das forças sobre  $q_3$  são iguais, mas ambas as forças estão no mesmo sentido, por isso esse não se classifica.

**EXERCÍCIO** Suponha que  $q_3$  esteja limitada a se mover apenas ao longo do eixo  $x$ . De sua posição inicial em  $x = 0,773 \text{ m}$ , a carga é puxada ao longo de uma superfície lisa no eixo  $x$ . Ao ser solta, a carga volta à posição de equilíbrio ou se desloca para mais longe dessa posição? Isso é, o equilíbrio é estável ou instável?



**Figura 1.8** (Exemplo 1.3) Três cargas pontuais estão posicionadas no eixo  $x$ . Se a força resultante que atua sobre  $q_3$  for zero, a força  $\vec{F}_{13}$  exercida por  $q_1$  sobre  $q_3$  deverá ser igual em módulo e de sentido oposto à força  $\vec{F}_{23}$  exercida por  $q_2$  sobre  $q_3$ .

## 1.3 cont.

**Resposta** Se  $q_3$  for deslocada para a direita,  $\vec{F}_{13}$  se tornará maior, e  $\vec{F}_{23}$  menor. O resultado é uma força resultante para a direita, no mesmo sentido do deslocamento. Portanto, a carga  $q_3$  continuará a se mover para a direita e o equilíbrio seria instável. Consulte a Seção 7.9 do Volume 1 para uma revisão dos equilíbrios estável e instável.

Se  $q_3$  está limitada a permanecer em uma coordenada  $x$  fixa, não pode se mover para cima e para baixo na Figura 1.8, o equilíbrio é estável. Neste caso, se for puxada para cima (ou para baixo) e solta, a carga se moverá de volta para a posição de equilíbrio e oscilará em torno desse ponto.

## Exemplo 1.4 Determine a carga nas esferas MA

Dois pequenos e idênticas esferas carregadas, cada uma com uma massa de  $3,00 \times 10^{-2} \text{ kg}$ , estão suspensas em equilíbrio, como mostra a Figura 1.9a. O comprimento  $L$  de cada corda é de  $0,150 \text{ m}$  e o ângulo  $\theta$  é de  $5,00^\circ$ . Determine o módulo da carga em cada esfera.

## SOLUÇÃO

**Conceitualização** A Figura 1.9b nos ajuda a conceitualizar este exemplo. As duas esferas exercem forças repulsivas uma sobre a outra. Se essas esferas fossem inicialmente uma da outra e, depois, soltas, elas se afastariam do centro e se estabeleceriam na configuração mostrada na Figura 1.9a, após as oscilações terem cessado por causa da resistência do ar.

**Categorização** A expressão-chave “em equilíbrio” nos ajuda a modelar cada esfera como uma partícula em equilíbrio. Este exemplo é similar aos problemas de partículas em equilíbrio no Capítulo 5 do Volume 1, com a característica de que uma das forças aplicadas a uma esfera é elétrica.

**Análise** O diagrama de forças para a esfera à esquerda é mostrado na Figura 1.9b. A esfera permanece em equilíbrio sob a aplicação da força  $\vec{T}$  na corda, da força elétrica  $\vec{F}_e$  da outra esfera e da força gravitacional  $m\vec{g}$ .

A partir do modelo da partícula em equilíbrio, defina a força resultante na esfera do lado esquerdo como sendo igual a zero para cada componente:

$$(1) \sum F_x = T \sin \theta - F_e = 0 \rightarrow T \sin \theta = F_e$$

$$(2) \sum F_y = T \cos \theta - mg = 0 \rightarrow T \cos \theta = mg$$

Divida a Equação (1) pela (2) para determinar  $F_e$ :

$$(3) \tan \theta = \frac{F_e}{mg} \rightarrow F_e = mg \tan \theta$$

Aplique a geometria do triângulo retângulo na Figura 1.9a para determinar uma relação entre  $a$ ,  $L$  e  $\theta$ :

$$(4) \sin \theta = \frac{a}{L} \rightarrow a = L \sin \theta$$

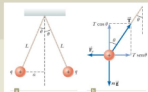
Resolva a equação da Lei de Coulomb (Eq. 1.1) para a carga  $|q|$  em cada esfera e substitua a partir das Equações (3) e (4):

$$|q| = \sqrt{\frac{F_e L^2}{k}} = \sqrt{\frac{F_e (2a)^2}{k}} = \sqrt{\frac{mg \tan \theta (2L \sin \theta)^2}{k}}$$

Introduza os valores numéricos:

$$|q| = \sqrt{\frac{(3,00 \times 10^{-2} \text{ kg})(9,80 \text{ m/s}^2) \tan(5,00^\circ) [2(0,150 \text{ m}) \sin(5,00^\circ)]^2}{8,99 \times 10^9 \text{ N} \cdot \text{C}^2/\text{C}^2}} = 4,42 \times 10^{-6} \text{ C}$$

**Finalização** Se o sinal das cargas não fosse indicado na Figura 1.9, não poderíamos determiná-las. De fato, o sinal da carga não é importante. A situação é a mesma, independentemente de as esferas serem carregadas positiva ou negativamente.



**Figura 1.9** (Exemplo 1.4) (a) Duas esferas idênticas, cada uma possuindo a mesma carga, suspensas em equilíbrio. (b) Diagrama das forças que atuam sobre a esfera na parte esquerda de (a).

## 1.4 cont.

**EXERCÍCIO 562** Suponha que sua colega proponha resolver este problema sem saber que as cargas têm o mesmo módulo. Ela afirma que a simetria do problema seria desfeita se as cargas não fossem iguais, de modo que a cada metade formariam dois ângulos diferentes com a vertical, tornando o problema muito mais complexo. Qual seria sua resposta?

**Resposta:** A simetria não seria desfeita e os ângulos não seriam diferentes. A Terceira Lei de Newton determina que o módulo das forças elétricas nas duas esferas seria a mesma, independente de as cargas serem iguais ou não. A resolução do exemplo permanece a mesma, com uma exceção ao valor de  $l_2$  agora é desfeita por  $\sqrt{1/6}$ . Na nova situação, vale  $l_1 = l_2$  e os valores de carga são duas esferas. A simetria do problema seria desfeita se as esferas tivessem massas diferentes. Nesse caso, as cordas formariam ângulos diferentes com a vertical e o problema seria mais complexo.

## 1.4 Modelo de análise: partícula em um campo (elétrico)

Na Seção 3.1 do Volume 1, discutimos as diferenças entre as forças de contato e as de campo. Das forças de campo – a gravitacional, no Capítulo 13 do Volume 1, e a elétrica, neste – foram introduzidas em nossos estudos até agora. Como já mostramos, as forças de campo podem atuar através do espaço, produzindo efeito mesmo quando não há contato físico entre os objetos em interação. Esta interação pode ser modelada como um processo de duas etapas: uma partícula-fonte estabelece um campo e, então, a partícula carregada interage com o campo e experimenta uma força. O campo gravitacional  $\vec{g}$  em um ponto do espaço gerado por uma partícula de origem fixa localizada, na Seção 13.4 do Volume 1, como igual à força gravitacional  $\vec{F}_g$  que atua sobre uma partícula de teste de massa  $m$  dividida por essa massa:  $\vec{g} \equiv \vec{F}_g/m$ . Então, a força exercida pelo campo é  $\vec{F} = m\vec{g}$  (Equação 3.5).

O conceito de campo foi desenvolvido por Michael Faraday (1791–1867), no contexto das forças elétricas, e seu valor prático é tão grande que lhe dedicamos muita atenção nos próximos capítulos. Nessas abordagens, consideramos que existe um **campo elétrico** na região do espaço em torno de um corpo carregado, a **fonte de campo**. A presença do campo elétrico pode ser detectada colocando-se uma carga teste no campo e observando-se a força elétrica nele. Por exemplo, considere a Figura 1.10, que mostra uma pequena carga de teste positiva  $q_0$  colocada próxima de um segundo corpo que possui uma carga positiva muito maior,  $Q$ . Definimos o campo elétrico gerado pela fonte de carga na posição da de teste como a força elétrica que atua sobre a carga de teste por carga positiva ou, de modo mais específico, o **vetor campo elétrico**  $\vec{E}$  em um ponto do espaço é definido como a força elétrica  $\vec{F}_e$  que atua sobre uma carga de teste positiva  $q_0$  localizada neste ponto dividida pela carga de teste:<sup>3</sup>

$$\vec{E} \equiv \frac{\vec{F}_e}{q_0} \quad (1.7) \quad \leftarrow \text{Definição de campo elétrico}$$

O vetor  $\vec{E}$  tem as unidades do SI de newtons por coulomb (N/C). O sentido de  $\vec{E}$ , como indicado na Figura 1.10, é o da força que atua sobre uma carga de teste positiva quando esta é colocada no campo. Observe que  $\vec{E}$  é o campo produzido por alguma carga ou distribuição de cargas *além* da de teste, não se tratando do campo produzido pela carga de teste. Note também que a existência de um campo elétrico é uma propriedade de sua origem, e que a presença da carga de teste não é necessária para que o campo exista. Esta carga serve como a **definição** do campo elétrico – um campo elétrico existe em um ponto se uma carga de teste neste ponto é afetada por uma força elétrica.

Se uma carga arbitrária  $q$  for colocada em campo elétrico  $\vec{E}$ , ela experimenta uma força elétrica dada por:

$$\vec{F}_e = q\vec{E} \quad (1.8)$$

<sup>3</sup> Ao utilizar a Equação 1.7, devemos saber que a carga de teste  $q_0$  não precisa ser suficiente para que não perturbe a distribuição de cargas que estabelece o campo elétrico. Na prática, isso significa que, se a carga de teste for suficientemente pequena, ela não afeta significativamente a distribuição de um campo gerado por presença de uma carga de teste muito maior.



Fonte de carga

**Figura 1.10** Uma pequena carga de teste positiva  $q_0$  colocada em um ponto  $P$  próximo de um corpo com uma carga positiva muito maior  $Q$ , é afetada por um campo elétrico  $\vec{E}$  no ponto  $P$  estabelecido pela fonte de carga  $Q$ . Sempre temos saber que a carga de teste é do mesmo tipo que a carga da fonte de campo, de modo que o campo da fonte de campo não é afetado por sua presença.



Relâmpago está associado a campos elétricos muito fortes na atmosfera.

## Prevenção de Amaldiós 1.1

## Apenas partículas

A Equação 1.8 é válida apenas para uma partícula de carga  $q$ , ou seja, um objeto de dimensões iguais a uma zebra. Para um objeto carregado de dimensões finitas em um campo elétrico, esse pode variar em módulo e sentido ao longo da sua extensão, de modo que a equação de força correspondente seja um tanto complexa.

Essa equação é a representação matemática da versão elétrica do modelo de análise de partícula em um campo. Se  $q$  for positiva, a força será o mesmo sentido do campo. Se negativa, a força e o campo terão sentidos opostos. Observe a similaridade entre a Equação 1.8 e a correspondente a partir da versão gravitacional do modelo de partícula em um campo,  $\vec{F}_g = m\vec{g}$  (Seção 3.5 do Volume 1). Uma vez conhecido o sentido e o módulo do campo elétrico em um ponto, a força elétrica exercida sobre qualquer partícula carregada colocada neste ponto pode ser calculada por meio da Equação 1.8.

Para determinar o sentido de um campo elétrico, considere uma carga pontual  $q$  e uma fonte de carga. Essa carga cria um campo elétrico em todos os pontos ao seu redor no espaço. Uma carga de teste  $q_0$  é colocada no ponto  $P$  a uma distância  $r$  da de origem, como mostra a Figura 1.11a. Consideramos a utilização da carga de teste para determinar o sentido da força elétrica  $\vec{F}_e$ , portanto, o do campo elétrico. Segundo a Lei de Coulomb, a força exercida por  $q$  sobre a carga de teste é

$$\vec{F}_e = k_e \frac{qq_0}{r^2} \hat{r}$$

onde  $\hat{r}$  é um vetor unitário direcionado de  $q$  para  $q_0$ . Na Figura 1.11a, essa força aponta para o sentido oposto ao da fonte de carga  $q$ . Uma vez que o campo elétrico em  $P$ , a posição da carga de teste, é definido por  $\vec{E} = \vec{F}_e/q_0$ , o campo elétrico em  $P$  criado por  $q$  é

$$\vec{E} = k_e \frac{q}{r^2} \hat{r} \quad (1.9)$$

Se a fonte de carga  $q$  for positiva, a Figura 1.11b mostra a situação com a carga de teste removida: a fonte de carga estabelece um campo elétrico em  $P$ , direcionado para o lado oposto a  $q$ . Se negativa, como na Figura 1.11c, a força aplicada à carga de teste apontará para a fonte, de modo que o campo elétrico em  $P$  apontará na direção desta carga, como mostra a Figura 1.11d.

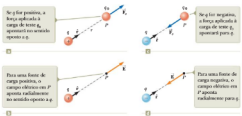
Para determinar o campo elétrico em um ponto  $P$  gerado por um pequeno número de cargas pontuais, primeiro calculamos os vetores campo elétrico em  $P$  individualmente, utilizando a Equação 1.9, e, depois, realizamos sua adição vetorial. Em outras palavras, em qualquer ponto  $P$  o campo elétrico total estabelecido por uma fonte de carga  $q$  é igual à soma vetorial dos campos elétricos de todas as cargas. Este princípio de superposição aplicado aos campos resulta diretamente da adição vetorial das forças elétricas. Desta forma, o campo elétrico no ponto  $P$  gerado por uma fonte de cargas pode ser expresso como a soma vetorial

$$\vec{E} = k_e \sum_i \frac{q_i}{r_i^2} \hat{r}_i \quad (1.10)$$

## Campo elétrico estabelecido por um número finito de cargas pontuais

onde  $r_i$  é a distância da  $i$ -ésima fonte de carga  $q_i$  ao ponto  $P$ , e  $\hat{r}_i$  um vetor unitário direcionado de  $q_i$  para  $P$ .

No Exemplo 1.5, estudamos o campo elétrico estabelecido por duas cargas, aplicando o princípio da superposição. A parte (b) do exemplo enfoca um **dipolo elétrico**, definido como uma carga positiva  $q$  e outra negativa  $-q$  separadas por uma distância  $2a$ . O dipolo elétrico é um bom modelo para muitas moléculas, como as do ácido clorídrico (HCl). As moléculas e os átomos neutros comportam-se como dipolos quando colocados em um campo elétrico externo. Além



**Figura 1.11** (a), (b) Quando colocada próxima de uma fonte de carga  $q$ , uma carga de teste  $q_0$  é afetada por uma força  $\vec{F}_e$ . (c), (d) Em um ponto  $P$  próximo de uma fonte de carga  $q$ , existe um campo elétrico.

disso, muitas moléculas, como as do HCl, são dipolos permanentes. O efeito de tais dipolos sobre o comportamento das matérias sujeitos aos campos elétricos é discutido no Capítulo 4 deste volume.

**Teste Rápido 1.4** Uma carga de teste de  $+5 \mu\text{C}$  está em um ponto  $P$  onde um campo elétrico externo está direcionado para a direita e tem uma intensidade de  $4 \times 10^6 \text{ N/C}$ . Se essa carga for substituída por outra de teste de  $-3 \mu\text{C}$ , o que ocorrerá com o campo elétrico interno em  $P$ ? (a) Ele permanecerá sem ser afetado. (b) Inverterá o sentido. (c) Será alterado de modo indeterminado.

**Modelo de Análise** Partícula em um campo (elétrico)

Imagine um objeto com carga, que desmontamos *carregando*. A carga- teste estabelece um campo elétrico  $\vec{E}$  por todo o espaço. Agora imagine que uma partícula com uma carga  $q$  é colocada no campo. A partícula interage com o campo elétrico, de modo que a partícula experimenta uma força elétrica dada por

$$\vec{F}_e = q\vec{E} \quad (1.8)$$

**Exemplos:**

- um elétron se move entre as placas de deflexão de um osciloscópio de raios catódicos e é desviado de sua trajetória original;
- íons carregados experimentam uma força elétrica a partir do campo elétrico em uma solução de velocidade azoos de entrar em um espectrômetro de massa (Capítulo 7 do Volume 3);
- um elétron se move em torno do núcleo no campo elétrico estabelecido pelo próton em um átomo de hidrogênio, conforme modelado pela teoria de Bohr (Capítulo 8 do Volume 4);
- um íon em um material semicondutor se move em resposta ao campo elétrico estabelecido pela aplicação de uma tensão ao material (Capítulo 9 do Volume 4).

**Exemplo 1.5** Uma gotícula de água suspensa MA

Uma gotícula de água suspensa, de massa  $3,00 \times 10^{-12} \text{ kg}$ , está localizada no ar próximo do solo, durante um dia tempestuoso. Um campo elétrico atmosférico de grandeza  $6,00 \times 10^5 \text{ N/C}$  aponta verticalmente para baixo nas proximidades da gota d'água. A gotícula permanece suspensa em repouso no ar. Qual é a carga elétrica na gotícula?

**SOLUÇÃO**

**Conceitualização** Imagine a gota d'água, pairando em repouso no ar. Esta situação não é o que normalmente se observa, então algo deve estar segurando a gota de água no ar.

**Categorização** A gotícula pode ser modelada como uma partícula e é descrita por dois modelos de análise associados com campos a partícula em um campo (gravitacional) e a partícula em um campo (elétrico). Além disso, como a gotícula está suspensa a forças, mas permanece em repouso, ela também é descrita pelo modelo da partícula em equilíbrio.

**Análise** Escreva a Segunda Lei de Newton a partir do modelo de partícula em equilíbrio na direção vertical:

$$(1) \sum F_y = 0 \rightarrow F_g - F_e = 0$$

Utilizando os dois modelos de partícula em um campo, mencionados na etapa Categorização, substitua para as forças na Equação (1), reconhecendo que a componente vertical do campo elétrico é negativo:

$$q(-E) - mg = 0$$

Resolva para a carga na gotícula de água:

$$q = \frac{-mg}{-E}$$

Substitua valores numéricos:

$$q = \frac{-(3,00 \times 10^{-12} \text{ kg})(9,80 \text{ m/s}^2)}{6,00 \times 10^5 \text{ N/C}} = -4,90 \times 10^{-17} \text{ C}$$

**Finalização** Observando a menor unidade de carga livre na Equação 1.5, a carga sobre a gotícula de água é um grande número dessas unidades. Observe que a força elétrica está direcionada para cima para equilibrar a força da gravidade que se dirige para baixo. O enunciado do problema afirma que o campo elétrico está no sentido descendente. Portanto, a carga encontrada acima é negativa, de modo que a força elétrica está na direção oposta ao campo elétrico.

**Exemplo 1.6** Campo elétrico estabelecido por duas cargas

As cargas  $q_1$  e  $q_2$ , está localizadas no eixo  $x$ , a distância  $a$  e  $b$ , respectivamente, da origem, como mostra a Figura 1.12.

(A) Determine as componentes do campo elétrico resultante no ponto  $P$ , que está na posição  $(0, y)$ .

**SOLUÇÃO**

**Conceitualização** Compare este exemplo com o 1.2, no qual somamos as forças vetoriais para determinar a força resultante aplicada a uma partícula carregada. Neste caso, somamos os vetores campo elétrico para calcular o campo elétrico resultante em um ponto no espaço. Se uma partícula carregada fosse colocada em  $P$ , poderíamos utilizar o modelo da partícula em um campo para encontrar a força elétrica na partícula.

**Categorização** Temos duas fontes de carga, e desejamos determinar o campo elétrico resultante, de modo que categorizamos este exemplo como um no qual podemos aplicar o princípio da superposição representado pela Equação 1.10.

**Análise** Determine o módulo do campo elétrico em  $P$  gerado pela carga  $q_1$ :

$$E_1 = k_e \frac{|q_1|}{r_1^2} = k_e \frac{|q_1|}{a^2 + y^2}$$

Determine o módulo do campo elétrico em  $P$  gerado pela carga  $q_2$ :

$$E_2 = k_e \frac{|q_2|}{r_2^2} = k_e \frac{|q_2|}{b^2 + y^2}$$

Escreva os vetores campo elétrico para cada carga em forma de vetor unitário:

$$\vec{E}_1 = k_e \frac{|q_1|}{a^2 + y^2} \cos\theta \hat{i} + k_e \frac{|q_1|}{a^2 + y^2} \sin\theta \hat{j}$$

$$\vec{E}_2 = k_e \frac{|q_2|}{b^2 + y^2} \cos\theta \hat{i} - k_e \frac{|q_2|}{b^2 + y^2} \sin\theta \hat{j}$$

Escreva as componentes do vetor campo elétrico resultante:

$$(1) E_x = E_{x1} + E_{x2} = k_e \frac{|q_1|}{a^2 + y^2} \cos\theta + k_e \frac{|q_2|}{b^2 + y^2} \cos\theta$$

$$(2) E_y = E_{y1} + E_{y2} = k_e \frac{|q_1|}{a^2 + y^2} \sin\theta - k_e \frac{|q_2|}{b^2 + y^2} \sin\theta$$

(B) Analise o campo elétrico no ponto  $P$  para o caso especial em que  $|q_1| = |q_2|$  e  $a = b$ .

**SOLUÇÃO**

**Conceitualização** A Figura 1.13 mostra a situação neste caso especial. Observe a simetria da situação, e que a distribuição de cargas é, agora, um dipolo elétrico.

**Categorização** Uma vez que a Figura 1.13 ilustra um caso especial do geral mostrado na Figura 1.12, podemos categorizar este exemplo como um no qual consideramos o resultado da parte (A) e introduzimos os valores adequados das variáveis.

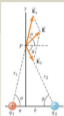
**Análise** Com base na simetria da Figura 1.13, calcule as Equações (1) e (2) da parte (A) com  $a = b$ ,  $|q_1| = |q_2| = q$  e  $\theta = \theta$ :

$$(3) E_x = k_e \frac{q}{a^2 + y^2} \cos\theta + k_e \frac{q}{a^2 + y^2} \cos\theta = 2k_e \frac{q}{a^2 + y^2} \cos\theta$$

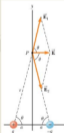
$$E_y = k_e \frac{q}{a^2 + y^2} \sin\theta - k_e \frac{q}{a^2 + y^2} \sin\theta = 0$$

Com base na geometria da Figura 1.13, calcule  $\cos\theta$ :

$$(4) \cos\theta = \frac{a}{r} = \frac{a}{(a^2 + y^2)^{1/2}}$$



**Figura 1.12** (Exemplo 1.6) O campo elétrico total resultante  $\vec{E}$  em  $P$  é igual à soma vetorial  $\vec{E}_1 + \vec{E}_2$ , onde  $\vec{E}_1$  é o campo estabelecido pela carga positiva  $q_1$ , e  $\vec{E}_2$  é o campo gerado pela carga negativa  $q_2$ .



**Figura 1.13** (Exemplo 1.6) Quando as cargas na Figura 1.12 são iguais em módulo e estão equidistantes da origem, a situação se torna simétrica como mostrado.

## 1.6 cont.

Substitua na Equação (4) no (3):

$$E_x = -2k \frac{q}{a^2 + y^2} \left| \frac{e}{|a^2 + y^2|^{3/2}} \right| = -k \frac{2qy}{(a^2 + y^2)^{3/2}}$$

(C) Determine o campo elétrico estabelecido pelo dipolo elétrico quando o ponto  $P$  está a uma distância  $y \gg a$  da origem.

## solução

Na resolução da parte (B), sendo  $y \gg a$ , despreze  $a^2$  comparado com  $y^2$  e escreva a expressão para  $E$  para este caso:

$$(D) E = k \frac{2qy}{y^3}$$

**Finalização** A Equação (D) mostra que em pontos afastados de um dipolo, mas posicionados ao longo do bissetor perpendicular da linha que liga as duas cargas, o módulo do campo elétrico criado pelo dipolo varia em uma proporção  $1/y^2$ , enquanto o campo de variação mais lenta de uma carga pontual muda em uma proporção  $1/y^2$  (veja a Eq. 1.9). Isto se deve ao fato de que, em pontos distantes, os campos das duas cargas de mesmo módulo e sinais opostos quase se cancelam. A variação  $1/y^2$  em  $E$  para o dipolo também é obtida para uma carga pontual distante ao longo do eixo  $x$  e para qualquer ponto distante em geral.

## 1.5 Campo elétrico de uma distribuição contínua de cargas

A Equação 1.10 é útil para calcular o campo elétrico devido a um pequeno número de cargas. Em muitos casos, temos uma distribuição contínua de carga, em vez de um conjunto de cargas discretas. A carga nessas situações pode ser descrita como continuamente distribuída ao longo de alguma linha, sobre alguma superfície, ou em algum volume.

Para preparar o processo de avaliação do campo elétrico criado por uma distribuição contínua de cargas, adotaremos o procedimento descrito a seguir. Primeiro, divida a distribuição de cargas em pequenos elementos, cada um contendo uma pequena carga  $\Delta q$ , como mostra a Figura 1.14. Depois, utilize a Equação 1.9 para calcular o campo elétrico gerado por um desses elementos em um ponto  $P$ . Finalmente, calcule o campo elétrico total em  $P$  estabelecido pela distribuição de cargas, somando as contribuições de todos os elementos de carga (isto é, aplicado o princípio da superposição).

O campo elétrico em  $P$  gerado por um elemento de carga com carga  $\Delta q$  é

$$\Delta \vec{E} = k \frac{\Delta q}{r^2} \hat{r}$$

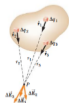
onde  $r$  é a distância do elemento de carga ao ponto  $P$ , e  $\hat{r}$  é um vetor unitário direcionado do elemento ao ponto  $P$ . O campo elétrico total em  $P$  gerado por todos os elementos na distribuição de cargas é aproximadamente

$$\vec{E} \approx k \sum_i \frac{\Delta q_i}{r_i^2} \hat{r}_i$$

onde o índice  $i$  refere-se ao  $i$ -ésimo elemento na distribuição. Visto que o número de elementos é muito grande e a distribuição de cargas é modelada como contínua, o campo total em  $P$  no limite  $\Delta q_i \rightarrow 0$  é

$$\vec{E} = k \lim_{\Delta q_i \rightarrow 0} \sum_i \frac{\Delta q_i}{r_i^2} \hat{r}_i = k \int \frac{dq}{r^2} \hat{r} \quad (1.11) \quad \leftarrow \text{Campo elétrico estabelecido por uma distribuição contínua de cargas}$$

onde a integração é feita sobre toda a distribuição de cargas. A integração na Equação 1.11 é uma operação vetorial, e deve ser tratada de forma adequada.



**Figura 1.14** O campo elétrico em  $P$  estabelecido por uma distribuição contínua de cargas  $q$  é a soma vetorial dos campos  $\Delta \vec{E}_i$  estabelecidos por todos os elementos  $\Delta q_i$  da distribuição de cargas. Três elementos de carga são mostrados.

Ilustraremos esse tipo de cálculo por meio de vários exemplos nos quais a carga é distribuída ao longo de uma linha, sobre uma superfície ou em todo um volume. Para realizar tais cálculos, é conveniente aplicar o conceito de *densidade de carga* juntamente com as notações a seguir:

- Se uma carga  $Q$  for distribuída uniformemente em todo um volume  $V$ , a **densidade de carga volumétrica**  $\rho$  será definida por

$$\rho = \frac{Q}{V}$$

onde  $\rho$  é expressa em unidade de coulombs por metro cúbico ( $C/m^3$ ).

- Se uma carga  $Q$  for distribuída uniformemente sobre uma superfície de área  $A$ , a **densidade de carga superficial** (outra grava sigma) será definida por

$$\sigma = \frac{Q}{A}$$

onde  $\sigma$  é expressa em unidade de coulombs por metro quadrado ( $C/m^2$ ).

- Se uma carga  $Q$  for distribuída uniformemente ao longo de uma linha de comprimento  $\ell$ , a **densidade de carga linear**  $\lambda$  será definida por

$$\lambda = \frac{Q}{\ell}$$

onde  $\lambda$  é expressa em unidades de coulombs por metro ( $C/m$ ).

- Se a carga for distribuída de modo não uniforme em um volume, superfície ou linha, as quantidades de carga  $\Delta q$  em um pequeno elemento de volume, superfície ou comprimento serão dadas por

$$\Delta q = \rho \, dV \quad \Delta q = \sigma \, dA \quad \Delta q = \lambda \, d\ell$$

## Estratégia para resolução de problemas

## CÁLCULO DO CAMPO ELÉTRICO

O procedimento a seguir é recomendado para a resolução de problemas que envolvem a determinação de um campo elétrico gerado por cargas individuais ou uma distribuição de cargas.

- 1. Conceitualização.** Estabeleça uma representação mental do problema: pense cuidadosamente sobre as cargas individuais ou a distribuição de cargas e imagine que tipo de campo elétrico seria criado. Considere qualquer simetria na disposição das cargas para ajudá-lo a visualizar o campo elétrico.
- 2. Categorização.** Examine analisando um grupo de cargas individuais ou uma distribuição contínua de cargas? A resposta a essa questão lhe informa como proceder ao passo "Análise".
- 3. Análise.**
  - (a) Se estivermos analisando um grupo de cargas individuais, utilize o princípio da superposição: quando várias cargas pontuais estão presentes, o campo resultante em um ponto no espaço é a soma vetorial dos campos individuais criados pelas cargas individuais (Eq. 1.10). Tenha muito cuidado ao manipular grandezas vetoriais. Pode ser útil revisar o material sobre adição vetorial ao Capítulo 3 do Volume 1. O Exemplo 1.6 demonstrou este procedimento.
  - (b) Se estivermos analisando uma distribuição contínua de cargas, o princípio de superposição é aplicado substituído-se as somas vetoriais para avaliação do campo elétrico total de cargas individuais por integrais vetoriais. A distribuição de cargas é dividida em partes infinitesimais, e a soma vetorial é efetuada por meio da integração ao longo de toda a distribuição de cargas (Eq. 1.11). Os Exemplos 1.7 a 1.9 demonstram tais procedimentos.

Considere a simetria ao trabalhar com uma distribuição de cargas pontuais ou contínuas de cargas. Tome como base qualquer simetria no sistema observada no passo "Conceitualização" para simplificar os cálculos. O cancelamento das componentes de campo perpendiculares ao eixo no Exemplo 1.8 é um modelo de aplicação de simetria.



**4. Finalização.** Verifique se sua expressão de campo elétrico está consistente com a representação mental e se reflete qualquer simetria observada anteriormente. Imagine parâmetros variáveis, como a distância do ponto de observação às cargas ou o raio de quaisquer objetos circulares, para verificar se o resultado matemático muda de modo lógico.

### Exemplo 1.7 Campo elétrico gerado por uma barra carregada

Uma barra de comprimento  $\ell$  tem carga positiva uniforme por unidade de comprimento  $\lambda$  e carga total  $Q$ . Calcule o campo elétrico em um ponto  $P$  localizado ao longo do eixo geométrico da barra e a uma distância  $a$  de uma extremidade (Fig. 1.15).

#### SOLUÇÃO

**Conceitualização** O campo  $d\mathbf{E}$  em  $P$ , gerado por um segmento de carga na barra, está no sentido negativo de  $x$ , porque cada segmento tem uma carga positiva. A Figura 1.15 mostra a geometria apropriada. Em nosso resultado, esperamos que o campo elétrico se torne menor à medida que a distância  $a$  se torna maior porque o ponto  $P$  está mais longe que a distribuição da carga.

**Categorização** Visto que a barra é contínua, estamos avaliando o campo estabelecido por uma distribuição contínua de cargas, em vez de um grupo de cargas individuais. Já que cada segmento da barra produz um campo elétrico no sentido negativo de  $x$ , a soma de suas contribuições pode ser tratada sem a necessidade da adição de vetores.

**Análise** Vamos supor que a barra esteja posicionada ao longo do eixo  $x$  seja de o comprimento de um pequeno segmento, e  $dq$ , a carga no segmento em questão. Uma vez que a barra tem carga por unidade de comprimento  $\lambda$ , a carga  $dq$  do segmento pequeno é  $dq = \lambda dx$ .

Determine o módulo do campo elétrico em  $P$  estabelecido por um segmento da barra com carga  $dq$ .

Determine o campo total em  $P$ , aplicando a Equação 1.11:

Observando que  $k$  e  $\lambda = Q/\ell$  são constantes e podem ser retiradas da integral, avalie a integral:

$$dE = k_e \frac{dq}{r^2} = k_e \frac{\lambda dx}{r^2}$$

$$E = \int_{-a}^{\ell-a} k_e \lambda \frac{dx}{r^2}$$

$$E = k_e \lambda \int_{-a}^{\ell-a} \frac{dx}{r^2} = k_e \lambda \left[ -\frac{1}{r} \right]_{-a}^{\ell-a}$$

$$(1) E = k_e \frac{Q}{\ell} \left[ \frac{1}{a} - \frac{1}{\ell-a} \right] = \frac{k_e Q}{a(\ell-a)}$$

**Finalização** Vamos que nossa previsão está correta; se  $a$  se torna maior, o denominador da fração se tornará maior, e  $E$  se tornará menor. Por outro lado, se  $a \rightarrow 0$ , o que corresponde a deslocar a barra inteira à esquerda até sua extremidade esquerda alcançar a origem,  $E \rightarrow \infty$ . Isto representa a condição na qual o ponto de observação  $P$  está a uma distância igual a zero da carga na extremidade da barra, de modo que o campo se torna infinito. Exploramos grandes valores de  $a$  que garantem que o ponto  $P$  esteja muito afastado da barra. Qual é a natureza do campo elétrico em tal ponto?

**Exercício 1.58\*** Suponha que o ponto  $P$  esteja muito afastado da barra. Qual é a natureza do campo elétrico em tal ponto? Resposta: Se  $P$  estiver afastado da barra ( $a \gg \ell$ ), o  $\ell$  no denominador da Equação (1) pode ser desprezado, e  $E \approx k_e Q/a^2$ . Essa é exatamente a forma que seria esperada para uma carga pontual. Portanto, para valores grandes de  $a/\ell$ , a distribuição de carga parece ser uma carga pontual de módulo  $Q$ ; o ponto  $P$  está tão afastado da barra que não podemos notar suas dimensões. A aplicação da técnica de limites ( $a/\ell \rightarrow \infty$ ) é, em geral, um bom método para verificar uma expressão matemática.

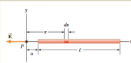


Figura 1.15 (Exemplo 1.7) O campo elétrico em  $P$  estabelecido por uma barra uniformemente carregada posicionada ao longo do eixo  $x$ .

### Exemplo 1.8 Campo elétrico de um anel de carga uniforme

Um anel de raio  $a$  possui carga total positiva  $Q$ , distribuída uniformemente. Calcule o campo elétrico gerado pelo anel em um ponto  $P$  localizado a uma distância  $x$  de seu centro ao longo do eixo central perpendicular ao plano do anel (Fig. 1.16).

#### SOLUÇÃO

**Conceitualização** A Figura 1.16a mostra a contribuição do campo elétrico  $d\mathbf{E}$  em  $P$  gerada por um único segmento de carga na parte superior do anel. Esse vetor campo pode ser resolvido nos componentes  $dE_x$ , paralela ao eixo do anel e  $dE_y$ , perpendicular ao eixo. A Figura 1.16b mostra as contribuições do campo elétrico de dois segmentos em lados opostos do anel. Por causa da simetria da situação, as componentes perpendiculares do campo se cancelam. Isto é verdadeiro para todos os pares de segmentos em torno do anel, de modo que podemos ignorar a componente perpendicular do campo e nos concentrar apenas nas componentes paralelas, que são simplesmente somadas.

**Categorização** Visto que o anel é contínuo, estamos avaliando o campo gerado por uma distribuição contínua de cargas, em vez de um grupo de cargas individuais.

**Análise** Analise a componente paralela de uma contribuição de campo elétrico de um segmento de carga  $dq$  ao eixo

$$(1) dE_x = k_e \frac{dq}{r^2} \cos \theta = k_e \frac{dq}{a^2 + x^2} \cos \theta$$

Com base na geometria da Figura 1.16a, determine  $\cos \theta$ .

$$(2) \cos \theta = \frac{a}{r} = \frac{a}{\sqrt{a^2 + x^2}}$$

Substitua a Equação (2) na (1):

$$dE_x = k_e \frac{dq}{(a^2 + x^2)^{3/2}} \left[ \frac{a}{\sqrt{a^2 + x^2}} \right] = \frac{k_e a}{(a^2 + x^2)^{3/2}} dq$$

Todos os segmentos do anel fornecem a mesma contribuição para o campo em  $P$ , porque estão todos equidistantes dele. Integre para obter o campo total em  $P$ :

$$E_x = \int \frac{k_e a}{(a^2 + x^2)^{3/2}} dq = \frac{k_e a}{(a^2 + x^2)^{3/2}} \int dq$$

$$(3) E = \frac{k_e Q a}{(a^2 + x^2)^{3/2}}$$

**Finalização** Este resultado demonstra que o campo é igual a zero em  $x = 0$ . Isto é consistente com a simetria do problema! Além disso, observe que a Equação (3) se reduz a  $k_e Q/a^2$  se  $a \gg x$ , de modo que o anel atua como uma carga pontual para locais distantes de sua posição, de um ponto distante, não conseguimos distinguir o formato do anel da carga.

**Exercício 1.58\*** Suponha que uma carga negativa seja colocada no centro do anel na Figura 1.16 e deslocada ligeiramente ao longo de uma distância  $x \ll a$  no eixo  $x$ . Ao ser liberada, que tipo de movimento a carga descreverá?

Resposta: Na expressão do campo gerado por um anel de carga contida em  $x \ll a$ , o que resulta em

$$E = \frac{k_e Q}{a^2}$$

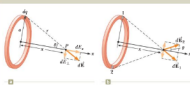


Figura 1.16 (Exemplo 1.8) Um anel de raio  $a$  carregado uniformemente. (a) Campo em  $P$  no eixo  $x$  gerado por um elemento de carga  $dq$ . (b) Campo elétrico total em  $P$  localizado ao longo do eixo  $x$ . A componente perpendicular do campo em  $P$  estabelecido pelo segmento 1 é cancelada pela estabelecida pelo segmento 2.

\* Para realizar integrações como esta, primeiro expresse o elemento de carga  $dq$  em função de outra variável na integral. No exemplo, utilize uma variável,  $\theta$ , de modo que  $dq = \lambda a d\theta$ . A integral deve ser definida em um intervalo circular. Depois disso, expresse o campo elétrico como função de comprimento  $s$ , se apropriado. No exemplo, o campo tem apenas uma componente  $x$ , a parâmetro, uma distância  $a$  é importante. Então, reduza sua expressão a uma integral de única variável em  $\theta$  e integre integral, cada termo de forma variável. Nos exemplos que mostram uma dimensão adicional em cilindros, a variável  $\theta$  é uma variável circular.

## 1.8 cont.

Portanto, com base na Equação 1.8, a força que atua sobre uma carga  $-q$  colocada próximo do centro do anel é

$$F_x = -\frac{k_e q Q}{a^3} x$$

Visto que a força tem a forma da Lei de Hooke (Eq. 1.1 do Volume 1), o movimento da carga negativa é descrito como o modo de partícula em movimento harmônico simples!

## Exemplo 1.9 Campo elétrico de um disco uniformemente carregado

Um disco de raio  $R$  tem uma densidade de carga superficial uniforme  $\sigma$ . Calcule o campo elétrico em um ponto  $P$  localizado ao longo do eixo perpendicular central do disco e a uma distância  $z$  do centro do disco (Fig. 1.17).

## SOLUÇÃO

**Conceitualização** Se o disco for considerado um conjunto de anéis concêntricos, podemos aplicar nosso resultado do Exemplo 1.8 — que determina o campo criado por um anel de raio  $a$  — e somar as contribuições de todos os anéis que formam o disco. Por simetria, o campo em um ponto axial deve estar ao longo do eixo central.

**Categorização** Uma vez que o disco é contínuo, estamos avaliando o campo gerado por uma distribuição contínua de cargas, em vez de um grupo de cargas individuais.

**Análise** Determine a quantidade de carga  $dq$  na área de superfície de um anel de raio  $r$  e largura  $dr$ , como mostra a Figura 1.17.

Utilize este resultado na equação dada para  $E_x$  no Exemplo 1.8 (com  $a$  substituído por  $r$  e  $Q$  por  $dq$ ) para determinar o campo gerado pelo anel.

Para obter o campo total em  $P$ , integre essa expressão para os limites  $r = 0$  a  $r = R$ , observando que  $\sigma$  é uma constante nessa situação:

$$dq = \sigma dA = \sigma(2\pi r dr) = 2\pi\sigma r dr$$

$$dE_x = \frac{k_e \sigma r}{(r^2 + z^2)^{3/2}} (2\pi\sigma r dr)$$

$$\begin{aligned} E_x &= k_e \sigma r \int_0^R \frac{2\pi r dr}{(r^2 + z^2)^{3/2}} \\ &= k_e \sigma \pi \int_0^R \frac{r^2 dr}{(r^2 + z^2)^{3/2}} \\ &= k_e \sigma \pi \left[ \frac{r^2 + z^2}{-1.2} \right]_0^R = 2\pi k_e \sigma \left[ 1 - \frac{z}{\sqrt{R^2 + z^2}} \right] \end{aligned}$$

**Finalização** Este resultado é válido para todos os valores de  $z > 0$ . Para grandes valores de  $z$ , o resultado anterior pode ser avaliado por uma expansão em série e movido como sendo equivalente ao campo elétrico de uma carga pontual  $Q$ . Podemos calcular o campo próximo do disco ao longo do eixo, supondo  $z \ll R$ . Portanto, a expressão entre colchetes reduz-se a unidade, fornecendo a aproximação de campo próximo

$$E_x = 2\pi k_e \sigma = \frac{\sigma}{\epsilon_0}$$

onde  $\epsilon_0$  é a permissividade do espaço livre. No Capítulo 2 deste volume, obtemos o mesmo resultado para o campo criado por um plano de carga infinito com densidade de carga superficial uniforme.

continua



Figura 1.17 (Exemplo 1.9) Um disco uniformemente carregado de raio  $R$ . O campo elétrico em um ponto axial  $P$  está direcionado ao longo do eixo central, perpendicular ao plano do disco.

## 1.9 cont.

**EMF?** E se deixarmos o raio do disco aumentar para que o disco se torne um plano de carga infinito?

**Resposta** O resultado de deixar  $R \rightarrow \infty$  no resultado final do exemplo é que a intensidade do campo elétrico se torna

$$E = 2\pi k_e \sigma = \frac{\sigma}{\epsilon_0}$$

Essa é a mesma expressão que obtemos para  $z \ll R$ . Se  $R \rightarrow \infty$ , em *qual* se ponto perto do campo — o resultado é independente da posição em que se mede o campo elétrico. Portanto, o campo elétrico devido a um plano infinito da carga é independente do espaço.

Na prática, um plano infinito de carga é impossível. No entanto, se dois planos de carga são colocados pouco um do outro, com um plano positivamente carregado e o outro negativamente carregado, o campo elétrico entre as placas está muito perto de ser uniforme em pontos longe das bordas. Esta configuração será investigada no Capítulo 6 deste volume.

## Prevenção de Armadilhas 1.2

**Linhas de campo elétrico não são partículas**

As linhas de campo elétrico representam o campo em diversas posições. Em um caso muito específico, as linhas não representam a trajetória percorrida por uma partícula carregada em um campo elétrico.

## Prevenção de Armadilhas 1.3

**Linhas de campo elétrico não são reais**

As linhas de campo elétrico não são corpos materiais, são utilizadas apenas como representações gráficas para fornecer uma descrição qualitativa do campo elétrico. Apesar de serem feitas de linhas de cada carga pode ser desenhado, o que faz o campo parecer quantizado e mesmo apenas em certas partes do espaço. De fato, ele é contínuo, e existe em cada ponto. Devemos evitar a impressão errônea de um desenho bidimensional de linhas de campo utilizado para descrever uma situação tridimensional.

esfera é  $N\epsilon_0 E^2$  (onde a área superficial da esfera é  $4\pi r^2$ ). Visto que  $E$  é proporcional a  $1/r^2$ , essa definição é consistente com a Equação 1.9.

Linhas de campo elétrico representativas para o campo criado por uma única carga pontual positiva são mostradas na Figura 1.18a. O desenho bidimensional, mostra apenas as linhas de campo localizadas no plano que contém a carga pontual. Na realidade, as linhas estão direcionadas radialmente para fora da carga em todas as direções. Portanto, em vez da "toda" achatada de linhas mostrada, devemos imaginar toda uma distribuição esférica de linhas. Uma vez que uma carga de teste positiva colocada nesse campo seria repelida pela fonte positiva, as linhas são direcionadas radialmente para fora da fonte. As linhas de campo elétrico que representam o campo estabelecido por uma única carga pontual negativa são direcionadas para

## 1.6 Linhas de campo elétrico

Definimos o campo elétrico de modo matemático por meio da Equação 1.3. Vamos agora estudar um meio de visualizá-lo em uma representação gráfica. Um modo conveniente de visualizar padrões do campo elétrico é desenhar linhas, chamadas **linhas de campo elétrico**, primeiramente introduzidas por Faraday, que se relacionam com o campo elétrico em uma região do espaço da seguinte maneira:

- O vetor campo elétrico  $\vec{E}$  é tangente à linha do campo elétrico em cada ponto. A linha tem um sentido, indicado por uma seta, que é o mesmo do vetor campo elétrico. O sentido da linha é o da força que atua sobre uma carga positiva colocada no campo de acordo com o modelo de partícula em um campo.
- O número de linhas por unidade de área através de uma superfície perpendicular a elas é proporcional ao módulo do campo elétrico na região em questão. Desta forma, as linhas de campo ficam próximas uma da outra onde o campo elétrico é intenso e afastadas onde este é fraco.

Essas propriedades são ilustradas na Figura 1.18. A densidade das linhas de campo através da superfície  $A$  é maior que a das da superfície  $B$ . Portanto, o módulo do campo elétrico é maior na superfície  $A$  que na  $B$ . Além disso, uma vez que as linhas em diferentes locais apontam para sentidos diferentes, o campo não é uniforme.

Essa relação entre a intensidade do campo elétrico e a densidade das linhas de campo é consistente com a Equação 1.9, a expressão que obtemos para  $E$  aplicando a Lei de Coulomb! Para responder a essa questão, considere uma superfície esférica imaginária de raio  $r$  concêntrica com uma carga pontual. Com base na simetria, observamos que a intensidade do campo elétrico é a mesma em qualquer parte da superfície da esfera. O número de linhas  $N$  que emergem da carga é igual ao de linhas que penetram na superfície esférica. Assim, o número de linhas por unidade de área na esfera é  $N\epsilon_0 E^2$  (onde a área superficial da esfera é  $4\pi r^2$ ). Visto que  $E$  é proporcional a  $1/r^2$ , essa definição é consistente com a Equação 1.9.



Figura 1.18 Linhas de campo elétrico penetrando em duas superfícies.

Para uma carga pontual positiva, as linhas de campo são divergentes radialmente para fora.

Para uma carga pontual negativa, as linhas de campo são convergentes radialmente para dentro.



**Figura 1.19** As linhas de campo elétrico de uma carga pontual. Observe que as figuras mostram apenas as linhas de campo que estão no plano da página.

a carga (Fig. 1.10b). Em todos os casos, as linhas estão ao longo da direção radial e se estendem para o infinito. Observe que elas se aproximam uma da outra à medida que se aproximam da carga, indicando que a intensidade do campo aumenta quando nos deslocamos em direção à fonte.

As regras para traçar linhas de campo elétrico são as seguintes:

- Elas devem ter origem em uma carga positiva e terminar em uma negativa.
- Em caso de ausência de um tipo de carga, algumas linhas terão origem ou terminarem no infinito.
- O número de linhas traçadas que saem de uma carga positiva ou se aproximam de uma negativa é proporcional à intensidade da carga.
- Nenhuma linha de campo deve cruzar outra.

Optamos por definir o número de linhas de campo que se originam em qualquer corpo com uma carga positiva  $q$ , como  $q/\epsilon_0$ , e o das que terminam em qualquer corpo com carga negativa  $q$ , como  $-q/\epsilon_0$ , onde  $\epsilon_0$  é uma constante de proporcionalidade arbitrária. Uma vez escolhida a constante  $\epsilon_0$ , o número de linhas de campo que saem de um sistema de duas cargas, ou o corpo 1 tem carga  $Q_1$  e o 2,  $Q_2$ , a proporção dos números de linhas em contato com as cargas é  $N_1/N_2 = |Q_1/Q_2|$ . As linhas de campo elétrico para duas cargas pontuais de mesma intensidade e sinais opostos (um dipolo elétrico) são mostradas na Figura 1.20. Visto que as cargas são de mesmo módulo, o número de linhas que se originam na carga positiva deve ser igual ao das que terminam na negativa. Nos pontos muito próximos das cargas, as linhas são quase radiais, como no caso de uma única carga isolada. A área desenhada das linhas entre as cargas indica uma região de campo elétrico intenso.

A Figura 1.21 mostra as linhas de campo elétrico na vizinhança de duas cargas pontuais positivas e idênticas. Novamente, as linhas são quase radiais em pontos próximos de qualquer das cargas, e o mesmo número de linhas emerge de cada carga, pois as cargas são iguais em módulo. Uma vez que não há cargas negativas disponíveis, as linhas do campo elétrico terminam no infinito. A grande distância das cargas, o campo é aproximadamente igual ao de uma única carga pontual de módulo  $2q$ .

Finalmente, na Figura 1.22, mostramos as linhas do campo elétrico associadas a uma carga positiva  $+2q$  e uma carga negativa  $-q$ . Neste caso, o número de linhas que saem de  $+2q$  é duas vezes maior que o das que terminam em  $-q$ . Assim, apenas metade das linhas que saem da carga positiva alcança a carga negativa. A outra metade termina em uma carga negativa, que suponhamos estar no infinito. A uma distância muito maior que a separação entre as cargas, as linhas do campo elétrico são equivalentes às de uma única carga  $+q$ .

O número de linhas de campo saídas da carga positiva é igual ao de linhas chegando à carga negativa.



**Figura 1.20** Linhas de campo elétrico de duas cargas pontuais de mesmo módulo e sinais opostos (um dipolo elétrico).



**Figura 1.21** As linhas de campo elétrico de duas cargas pontuais positivas. (As localizações A, B e C são distantes da Tese Rápido 1.5.)

Das linhas de campo que saem de  $+2q$  para cada linha que termina em  $-q$ .



**Figura 1.22** As linhas do campo elétrico de uma carga pontual  $+2q$  e uma segunda carga pontual  $-q$ .

## 1.7 Movimento de uma partícula carregada em um campo elétrico uniforme

Quando uma partícula de carga  $q$  e massa  $m$  é colocada em um campo elétrico  $\vec{E}$ , a força elétrica exercida sobre a carga é  $q\vec{E}$ , de acordo com a Equação 1.8 no modelo de partícula em um campo. Caso seja a única força aplicada à partícula, ela deve ser a força resultante, que faz com que a partícula acelere de acordo com o modelo da partícula isolada para um força resultante. Portanto,

$$\vec{F}_r = q\vec{E} = m\vec{a}$$

e a aceleração da partícula é

$$\vec{a} = \frac{q\vec{E}}{m} \quad (1.12)$$

### Prevenção de Armadilhas 1.4

#### Apenas outra força

As forças e os campos elétricos podem fazer coisas interessantes. Porém, uma vez aplicada a força  $\vec{F}_r$ , sua função é que a partícula se mova segundo nossos modelos bem estabelecidos de força e movimento em capítulos 2 a 6 do Volume 1. Manter esse sistema com o passado deve ajudá-lo a resolver problemas desse capítulo.

Se  $\vec{E}$  for uniforme (isto é, for constante em módulo e sentido), e a partícula está livre para se mover, a força elétrica aplicada à partícula será constante, e podemos aplicar o modelo da partícula em aceleração constante ao movimento da partícula. Portanto, a partícula nesta situação é descrita por seis modelos de análise: parábola em um campo, partícula sob uma força líquida e partícula sob aceleração constante. Se a partícula tiver uma carga positiva, sua aceleração será o sentido do campo elétrico. Se possuir uma carga negativa, sua aceleração terá o sentido oposto ao do campo elétrico.

### Exemplo 1.10

#### Uma carga positiva em aceleração: dois modelos

MA

Um campo elétrico uniforme  $\vec{E}$  está direcionado ao longo do eixo  $x$  entre placas carregadas separadas por uma distância  $d$ , como mostra a Figura 1.23. Uma carga pontual positiva  $q$  de massa  $m$  é liberada do repouso em um ponto  $\mathcal{A}$  próximo da placa positiva e acelera em direção a um ponto  $\mathcal{B}$  próximo da placa negativa.

(A) Determine a velocidade escalar da partícula em  $\mathcal{B}$ , modelando-a como em aceleração constante.

#### SOLUÇÃO

**Contextualização** Quando colocada em  $\mathcal{A}$ , a carga positiva é afetada por uma força elétrica direcionada para a direita na Figura 1.23, estabelecida pelo campo elétrico direcionado para a direita. Como resultado, ela irá acelerar para a direita e chegará a  $\mathcal{B}$  com alguma velocidade.

**Contextualização** Já que o campo elétrico é uniforme, uma força elétrica constante atua sobre a carga. Portanto, como sugerido na discussão anterior ao exemplo e no enunciado do problema, a carga pontual pode ser modelada como uma partícula em aceleração constante.

**Análise** Aplique a Equação 2.17 do Volume 1 para expressar a velocidade vetorial da partícula como função da posição:

$$v_x^2 = v_x^2 + 2a(x_f - x_i) = 0 + 2a(d - 0) = 2ad$$

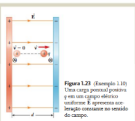
Resolva para  $v_x$  e aplique a definição da Equação 1.12 ao módulo da localização:

$$v_x = \sqrt{2ad} = \sqrt{2\left(\frac{qE}{m}\right)d} = \sqrt{\frac{2qEd}{m}}$$

(B) Determine a velocidade escalar da partícula em  $\mathcal{B}$ , modelando-a como um sistema não isolado em termos de energia.

#### SOLUÇÃO

**Contextualização** O enunciado do problema informa que a carga é um sistema não isolado por energia. A força elétrica, como qualquer força, pode realizar trabalho em um sistema. A energia é transferida para o sistema da carga por meio do trabalho da força elétrica exercida sobre ela. A configuração inicial do sistema posiciona a partícula em  $\mathcal{A}$ , e a configuração final está em movimento com alguma velocidade em  $\mathcal{B}$ .



**Figura 1.23** (Exemplo 1.10) Uma carga pontual positiva  $q$  em um campo elétrico uniforme  $\vec{E}$  acelera ao longo do eixo  $x$  em direção ao ponto  $\mathcal{B}$ .

**Teste Rápido 1.5** Classifique as intensidades do campo elétrico nos pontos A, B e C mostrados na Figura 1.21 (a maior intensidade primeiro).

## 1.10 cont.

**Análise** Expresse a radiação adequada da equação de conservação da energia, Equação 8.2 do Volume 1, para o sistema da partícula carregada:

$$W = \Delta K$$

Substitua o trabalho e as energias cinéticas por valores adequados para esta situação:

$$F_e \Delta r = K_{\text{fin}} - K_{\text{in}} = \frac{1}{2} m v_f^2 - 0 \rightarrow v_f = \sqrt{\frac{2F_e \Delta r}{m}}$$

Substitua pela grandeza da força elétrica  $F_e$  da partícula em um modelo do campo e o deslocamento  $\Delta r$ :

$$v_f = \sqrt{\frac{2qE\Delta r}{m}} = \sqrt{\frac{2qE\ell}{m}}$$

**Finalização** A resposta para a parte (ii) é a mesma da (i), como esperado. Este problema pode ser resolvido com abordagens diferentes. Vimos as mesmas possibilidades com problemas mecânicos.

## Exemplo 1.11 Um elétron acelerado MA

Um elétron entra na região de um campo elétrico uniforme, como mostra a Figura 1.24, com  $v_i = 3,00 \times 10^6 \text{ m/s}$  e  $E = 200 \text{ N/C}$ . O comprimento horizontal das placas é  $\ell = 0,100 \text{ m}$ .

(A) Determine a aceleração do elétron enquanto ele está no campo elétrico.

## SOLUÇÃO

**Conceitualização** Este exemplo é diferente do anterior, pois a velocidade vetorial da partícula carregada é inicialmente perpendicular às linhas de campo elétrico. No Exemplo 1.10, a velocidade vetorial da partícula carregada é sempre paralela às linhas de campo elétrico. Como resultado, o elétron neste exemplo descreve um percurso curvo, como mostra a Figura 1.24. O movimento do elétron é o mesmo de uma partícula lançada horizontalmente em um campo gravitacional próximo da superfície da Terra.

**Categorização** O elétron é uma partícula em um campo elétrico. Visto que o campo elétrico é uniforme, uma força elétrica constante é exercida sobre o elétron. Para determinar a aceleração do elétron, podemos modelá-lo como uma partícula à qual uma força resultante é aplicada.

**Análise** A partir da partícula em um modelo de campo, sabemos que a direção da força elétrica sobre o elétron é dirigida para baixo, na Figura 1.24, em oposição à direção das linhas do campo elétrico. A partir do modelo da partícula sob uma força líquida, desse modo, a aceleração do elétron é dirigida para baixo.

A partícula em um modelo de força resultante foi utilizada para desenvolver a Equação 1.12 no caso em que a força elétrica em uma partícula é a única força.

Utilize esta equação para isolar a componente  $y$  da aceleração do elétron:

$$a_y = -\frac{eE}{m_e}$$

Aplique os valores numéricos:

$$a_y = -\frac{(1,60 \times 10^{-19} \text{ C})(200 \text{ N/C})}{9,11 \times 10^{-31} \text{ kg}} = -3,51 \times 10^{10} \text{ m/s}^2$$

(B) Supondo que o elétron entre no campo no instante  $t = 0$ , determine o instante no qual o elétron sai do campo.

## SOLUÇÃO

**Categorização** Já que a força elétrica atua apenas na direção vertical na Figura 1.24, podemos analisar o movimento da partícula na horizontal, modelando-a como em velocidade constante.

continua

O elétron apresenta uma aceleração para baixo (oposta a  $E$ ), e seu movimento é parabólico enquanto está entre as placas.

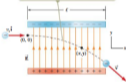


Figura 1.24 (Exemplo 1.11) Um elétron é projetado horizontalmente em um campo elétrico uniforme produzido por duas placas carregadas.

## 1.11 cont.

**Análise** Resolva a Equação 2.7, do Volume 1, para o instante no qual o elétron atinge a borda direita das placas:

$$x_f = x_i + v_x t \rightarrow t = \frac{x_f - x_i}{v_x}$$

Aplique os valores numéricos:

$$t = \frac{\ell - 0}{v_x} = \frac{0,100 \text{ m}}{3,00 \times 10^6 \text{ m/s}} = 3,33 \times 10^{-8} \text{ s}$$

(C) Supondo que a posição vertical do elétron ao entrar no campo seja  $y_i = 0$ , qual será sua posição vertical ao sair do campo?

## SOLUÇÃO

**Categorização** Uma vez que a força elétrica é constante na Figura 1.24, podemos analisar o movimento da partícula na direção vertical, modelando-a como em aceleração constante.

**Análise** Aplique a Equação 2.16 do Volume 1 para descrever a posição da partícula em qualquer instante  $t$ :

$$y_f = y_i + v_{y,i} t + \frac{1}{2} a_y t^2$$

Aplique os valores numéricos:

$$y_f = 0 + 0 + \frac{1}{2}(-3,51 \times 10^{10} \text{ m/s}^2)(3,33 \times 10^{-8} \text{ s})^2 = -0,0193 \text{ m} = -1,93 \text{ cm}$$

**Finalização** Se o elétron entrar abaixo da placa negativa na Figura 1.24 e a separação entre as placas for menor que o valor calculado, o elétron atingirá a placa positiva.

Observe que utilizamos quatro modelos de análise para descrever o elétron nas várias partes deste problema. Desprezamos a força gravitacional que atua sobre o elétron, o que é uma boa aproximação para o trabalho com partículas atômicas. Para um campo elétrico de  $200 \text{ N/C}$ , a proporção entre o módulo da força elétrica,  $eE$ , e o módulo da força gravitacional,  $mg$ , é da ordem de  $10^{12}$  para um elétron, e de  $10^9$  para um próton.

## Resumo

## Definições

O campo elétrico  $\vec{E}$  em um ponto no espaço é definido como a força elétrica  $\vec{F}_e$  que atua sobre uma pequena carga de teste positiva colocada neste ponto dividida pelo módulo  $q_0$  da carga de teste:

$$\vec{E} \equiv \frac{\vec{F}_e}{q_0} \quad (3.7)$$

## Conceitos e Princípios

As cargas elétricas têm as seguintes propriedades importantes:

- Cargas com sinais opostos se atraem, e com o mesmo sinal se repelem.
- A carga total em um sistema isolado é conservada.
- A carga é quantizada.



pondo  $A$  no espaço vazio? Explique. (b) Existe carga neta sobre  $A$ ? Explique. (c) Existe força neta sobre  $A$ ? Explique.



Figura PCL6

- No clima ameno, mistar um campo elétrico na superfície da Terra apontado para baixo no sentido do solo. Qual é o sinal da carga elétrica no solo em tal situação?
- Por que a equipe de um hospital deve usar calçados condutores especiais ao trabalhar próximo a recipientes de oxigênio, em uma sala de cirurgia? O que pode ocorrer se a equipe usar calçados com solados de borracha?

2. Um balão fica preso a uma parede após ser carregado negativamente por atrito. (a) Isso ocorre porque a parede está positivamente carregada? (b) Por que, finalmente, o balão cai?

3. Considere duas cargas elétricas no espaço vazio. Cada dipolo tem uma carga líquida igual a zero. (a) Existe força elétrica entre os dipolos, sem  $k$ , dois dipolos com carga líquida igual a zero podem exercer forças elétricas uma sobre o outro? (b) E se afirmarmos, a força é de atração ou repulsão?

4. Um objeto de vidro recebe uma carga positiva quando esfregado com um pedaço de seda. Durante esse processo, prótons foram adicionados ao objeto ou elétrons foram removidos?

## Problemas

**WebAssign** Os problemas que se encontram neste capítulo podem ser resolvidos em line no Enhanced WebAssign (em inglês).

- desta problema simples;
- desta problema intermediária;
- desta problema desafiadora.

**AN** Análise Model Estável disponível no Enhanced WebAssign (em inglês).

**EA** desta laboratório Master E disponível no Enhanced WebAssign (em inglês).

**GO** desta problema dirigido;

**VO** utilize o vídeo Watch It disponível no Enhanced WebAssign (em inglês).

### Seção 1.1 Propriedades das cargas elétricas

- Determine a carga e a massa das partículas a seguir com três algarismos significativos. Suponha sempre processado a massa de um íon como zero na tabela periódica dos elementos químicos no Apêndice C. (a) um íon de hidrogênio ionizado, representado como  $H^+$  (é um íon de sódio ionizado indistinguíveis,  $Na^+$ ) (b) um íon de cloro  $Cl^-$  (c) um íon de cálcio ionizado duplamente,  $Ca^{2+}$  (d)  $Ca^{2+}$  e o centro de uma molécula de amônia, modelado como um íon  $N^{3-}$  (e) íons de nitrogênio ionizados quadruplamente,  $N^{4-}$ , encontrados na plasma de uma estrela jovem (g) o núcleo de um íon de nitrogênio (h) o íon molecular  $H_3O^+$ .
- GO** (a) Calcule o número de elétrons em um pequeno pedaço de prata eletricamente neutro com massa de 10,0 g. A prata tem 47 elétrons por átomo, e sua massa molar é de 107,87 g/mol. (b) Considere o adágio de elétrons no adágio: se a carga negativa atarcar o valor muito alto de 1,00 mC. Quantos elétrons são adicionados para cada  $10^6$  elétrons presentes?

### Seção 1.2 Carga de objetos por indução

#### Seção 1.3 Lei de Coulomb

- Dois prótons em um núcleo atômico são tipicamente separados por uma distância de  $2 \times 10^{-15}$  m. A força elétrica repulsora entre os prótons é enorme, mas a força nuclear atrativa é ainda mais forte e mantém o núcleo longe de se desfazer. Qual é a intensidade da força elétrica entre dois prótons separados por  $2,00 \times 10^{-15}$  m?

4. Uma partícula carregada  $A$  exerce uma força de 2,67 nN a direita na partícula  $B$  carregada quando as partículas estão separadas por uma distância de 13,7 mm. A partícula  $B$  atrai-se imediatamente de  $A$  quando se coloca a distância entre elas seja 17,7 mm. Qual é a força resultante que  $A$  exerce em  $B$ ?

5. Em uma nuvem, pode haver cargas elétricas de  $+40,0$  C perto da parte superior da nuvem e  $-40,0$  C perto da parte inferior da nuvem. Estas cargas são separadas por 2,00 km. Qual é a força elétrica sobre a carga na parte superior da nuvem?

6. (a) Determine o módulo da força elétrica entre um íon  $Na^+$  e um íon  $Cl^-$  separados por 0,50 nm. (b) A resposta seria diferente se o íon do sódio fosse trocado por  $Li^+$ , e o íon de cloro por  $I^-$ ? Explique.

7. Revisão. Uma molécula de DNA (ácido desoxirribonucleico) tem um comprimento de 2,17  $\mu$ m. As moléculas da molécula se tornam individualmente ionizadas – uma negativa e a outra positiva. A molécula helicoidal atua como uma mola e se retrai 1,00% ao ser carregada. Determine a constante elástica efetiva da molécula.

8. Cento vez, o ganhador do prêmio Nobel Richard Feynman (1918–1988) disse que, se duas pessoas paradas tivessem a distância de um braço uma de outra e cada uma tivesse 100 mais elétrons do que prótons, a força de repulsão entre elas seria suficiente para separar um “peão” igual ao de toda a Terra. Efetue um cálculo de ordem de grandeza para fundamentar essa afirmação.

9. Uma carga pontual de 7,90 nC está localizada a 1,80 m de outra de 4,50 nC. (a) Determine o módulo da força elétrica

que uma partícula exerce sobre a outra. (b) A força é atrativa ou repulsiva?

- GO** (a) Dois prótons em uma molécula estão separados por  $3,80 \times 10^{-10}$  m. Calcule o módulo da força elétrica exercida por um próton sobre outro. (b) Compare o módulo dessa força com o da força gravitacional exercida por um próton sobre o outro. (c) E se? Qual deve ser a relação carga/massa de uma partícula se o módulo da força gravitacional entre duas dessas partículas é igual ao da força elétrica entre elas?
- GO** Três cargas pontuais estão dispostas como mostra a Figura P11.11. Determine (a) o módulo e (b) o sentido da força elétrica aplicada à partícula na origem.



Figura P11.11 Problemas 11 e 15

11. Três cargas pontuais estão localizadas em uma linha reta, como mostra a Figura P11.12, onde  $q_1 = 6,00$   $\mu$ C,  $q_2 = 1,50$   $\mu$ C e  $q_3 = -2,00$   $\mu$ C. Assuma que as distâncias que se separam são  $d_1 = 3,00$  cm e  $d_2 = 2,00$  cm. Calcule o módulo e o sentido da força elétrica resultante exercida sobre (a)  $q_1$ , (b)  $q_2$  e (c)  $q_3$ .



Figura P11.12

12. **GO** Duas cargas pequenas com cargas positivas  $q_1 = 5q$  e  $q_2 = q$  estão fixas nas extremidades de uma barra isolante horizontal de comprimento  $d = 1,50$  m. A uma carga  $q_3$  está na origem. Como mostra a Figura P11.13, uma terceira carga carregada está livre para deslizar sobre a barra. (a) Em que posição a terceira carga permanece em equilíbrio? (b) O equilíbrio pode ser estável?



Figura P11.13 Problemas 13 e 14

13. Duas cargas pequenas com carga de mesmo sinal  $q_1$  e  $q_2$  estão fixas nas extremidades de uma barra isolante horizontal de comprimento  $d$ . A uma carga  $q_3$  está na origem. Como mostra a Figura P11.14, uma terceira carga carregada está livre para deslizar sobre a barra. (a) Em que posição a terceira carga permanece em equilíbrio? (b) O equilíbrio pode ser estável?



Figura P11.15

Problemas 15 e 16

14. **GO** Três partículas carregadas estão nos vértices de um triângulo equilátero, como mostra a Figura P11.15. Calcule a força elétrica total que atua sobre a carga de 7,00  $\mu$ C.

- Dois pequenos esferas de metal, cada uma com massa  $m = 0,500$  g, estão suspensas como pêndulos por cordões leves de comprimento  $l$ , como mostra a Figura P11.16. As esferas repulsoras a mesma carga elétrica de 7,2 nC e permanecem em equilíbrio quando cada cordão forma um ângulo  $\theta = 3,00^\circ$  com a vertical. Qual é o comprimento dos cordões?

Figura P11.16

17. Revisão. Na teoria de Bohr do átomo de hidrogênio, um elétron se move em uma órbita circular em torno de um próton, sendo que o raio da órbita é de  $2,39 \times 10^{-10}$  m. Determine o módulo da força elétrica exercida sobre cada partícula. (b) Se sua força causar a aceleração centrípeta do elétron, qual será a velocidade escalar dessa partícula?

18. **GO** Uma partícula A de carga  $2,00 \times 10^{-6}$  C está na origem, uma partícula B de carga  $-6,00 \times 10^{-6}$  C está em (4,00 m, 0) e uma partícula C de carga  $1,00 \times 10^{-6}$  C está em (0, 3,00 m). Determine a força elétrica resultante exercida sobre C. (a) Qual é a componente da força elétrica exercida por A sobre C? (b) Qual é a componente e da força exercida por A sobre C? (c) Calcule o módulo da força exercida por B sobre C. (d) Calcule a componente  $x$  da força exercida por B sobre C. (e) Assumindo as duas componentes e das partes (a) e (b) para obter a componente  $x$  da força elétrica resultante que atua sobre C. (f) De modo similar, determine a componente  $y$  do vetor força resultante que atua sobre C. (g) Determine o módulo e o sentido da força elétrica resultante exercida sobre C.

19. Uma carga pontual  $+3Q$  está na origem, e uma carga pontual  $-Q$  localizada ao longo do eixo  $x$  em  $x = d$ , como mostra a Figura P19.19.

Determine uma expressão simbólica para a força horizontal de compressão  $d = 1,50$  m. A uma carga  $q$  está na origem. Como mostra a Figura P11.13, uma terceira carga carregada está livre para deslizar sobre a barra. (a) Em que posição a terceira carga permanece em equilíbrio? (b) O equilíbrio pode ser estável?

20. Revisão. Duas partículas idênticas, cada uma com uma carga  $+q$ , estão fixas no espaço e separadas por uma distância  $d$ . Uma terceira partícula com uma carga  $-q$  está livre para se mover e, inicialmente, em repouso no bissetor perpendicular das duas cargas pontuais a uma distância  $x$  do ponto central entre elas (Fig. P19.20). (a) Determine que, se  $x \ll d$ , os pequenos deslocamentos  $x$  e o movimento de  $-q$  é basicamente simples ao longo do bissetor perpendicular. (b) Determine o período de oscilação de  $-q$ . (c) O quanto rápido a carga  $-q$  se deslocará quando estiver no ponto central entre as duas cargas fixas se, inicialmente, for solta a uma distância  $x = d$  do ponto central?

Figura P19.19



Figura P19.20

21. **GO** Duas pequenas esferas condutoras idênticas estão positivamente com as esferas contendo separadas por 0,500 m. Uma esfera recebe uma carga de 12,0 nC, e a outra, uma



carga de  $-18,0 \text{ nC}$ . (a) Determine a força elétrica exercida por uma esfera sobre a outra. (b) E se? As esferas estão conectadas por um fio condutor. Calcule a força elétrica que cada uma exerce sobre a outra após serem estabilizadas e o equilíbrio.

11. Por que a seguinte situação é impossível? Duas partículas de massa idêntica de massa  $1,00 \mu\text{g}$  flutuam no espaço vazio, longe de qualquer fonte externa de campos gravitacionais ou elétricos grandes e em repouso uma em relação à outra. Ambas possuem cargas elétricas idênticas em módulo e sinal. As forças gravitacionais e elétricas entre as partículas são o mesmo módulo e, assim, cada partícula está submetida por simetria força resultante, e a distância entre elas permanece constante.

### Seção 1.4 Modelo de análise: partícula em um campo (elétrico)

12. Quão nítido o módulo e a direção do campo elétrico que irá equalizar o peso de (a) um elétron e (b) um próton? Você pode confiar em dados na Tabela 1.1.
13. Um objeto pequeno de massa  $2,80 \text{ g}$  e carga  $-18,0 \mu\text{C}$  está suspenso e inclinado acima do solo quando é inserido em um campo elétrico uniforme perpendicular ao solo. Determine o módulo e o sentido do campo elétrico.
13. Quatro partículas carregadas estão localizadas nos vértices de um quadrado de lado  $a$ , como mostra a Figura P1.25. Determine (a) o campo elétrico na posição da carga  $q$  e (b) a força elétrica total exercida sobre  $q$ .



Figura P1.25

16. Três cargas pontuais estão posicionadas em um círculo de raio  $r$  nos ângulos de  $30^\circ$ ,  $150^\circ$  e  $270^\circ$ , como mostra a Figura P1.26. Determine uma expressão simbólica para o campo elétrico resultante no centro do círculo.



Figura P1.26

27. Duas partículas idênticas positivamente carregadas estão localizadas em vértices opostos de um trapézóide, como mostra a Figura P1.27. Determine expressões simbólicas para o campo elétrico total (a) no ponto  $P$  e (b) no ponto  $P'$ .
18. Considere a partícula idêntica positivamente carregada, cada uma com módulo

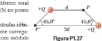


Figura P1.27

$Q$ , posicionadas simetricamente em torno de um círculo de raio  $r$ . (c) Calcule o módulo do campo elétrico em um ponto a uma distância  $d$  do centro do círculo e na linha que passa através dos centros de  $d$  perpendicular ao seu plano. (b) Esboce por que esse resultado é idêntico ao do cálculo feito no Exemplo 1.8.

28. 31. Na Figura P1.28, determine o ponto (que não o infinito) no qual o campo elétrico é igual a zero.



Figura P1.28

32. 32. Três partículas carregadas estão localizadas nos vértices de um triângulo equilateral, como mostra a Figura P1.15. (a) Calcule o campo elétrico na posição da carga  $2,00 \mu\text{C}$ , gerado pelas cargas de  $7,00 \mu\text{C}$  e  $-4,00 \mu\text{C}$ . (b) Aplique seu resultado à parte (a) para calcular a força exercida sobre a carga  $2,00 \mu\text{C}$ .
33. Três cargas pontuais estão localizadas em um arco de círculo, como mostra a Figura P1.31. (a) Qual é o campo elétrico total em  $P$ , o centro do arco? (b) Determine a força elétrica que seria exercida sobre uma carga pontual de  $-0,20 \mu\text{C}$  posicionada em  $P$ .



Figura P1.31

34. Duas partículas carregadas estão localizadas no eixo  $x$ . A primeira é uma carga  $+Q$  em  $x = -a$ . A segunda é uma carga desconhecida localizada em  $x = +3a$ . O campo elétrico resultante produzido por essas cargas na origem tem um módulo de  $25Q/a^2$ . Responda quanto valores são possíveis para a carga desconhecida e determine-os.
35. 35. Uma pequena bola plástica, de  $2,60 \text{ g}$ , é suspensa por uma corda com  $20,0 \text{ cm}$  de comprimento em um campo elétrico uniforme, como mostra a Figura P1.32. Se a bola estiver em equilíbrio quando a corda faz um ângulo de  $15,0^\circ$  com a vertical, qual é a carga líquida na bola?



Figura P1.32

34. Duas cargas pontuais de  $2,00 \mu\text{C}$  estão localizadas no eixo  $x$ . Uma delas está em  $x = 1,00 \text{ m}$ , e a outra está em  $x = -1,00 \text{ m}$ . (a) Determine o campo elétrico no eixo  $x$  em

$y = 0,500 \text{ m}$ . (b) Calcule a força elétrica sobre uma carga de  $-3,00 \mu\text{C}$  colocada no eixo  $y$  em  $y = 3,00 \text{ m}$ .

35. 35. Três cargas pontuais são arranjadas conforme mostra a Figura P1.11. (a) Determine o campo vetor campo elétrico que as cargas de  $6,90 \text{ nC}$  e  $-3,00 \text{ nC}$ , juntas, criam na origem. (b) Determine o vetor força sobre a carga de  $3,00 \text{ nC}$ .
36. 36. Considere o dipolo elétrico mostrado na Figura P1.26. Mostre que o campo elétrico em um ponto distante sobre o eixo  $x$  é  $E_x = 4kq_1q_2/x^3$ .



Figura P1.36

### Seção 1.5 Campo elétrico de uma distribuição contínua de cargas

37. 37. Uma barra de  $14,0 \text{ cm}$  de comprimento está uniformemente carregada com uma carga total de  $-22,0 \mu\text{C}$ . Determine (a) o módulo e (b) o sentido do campo elétrico no ponto  $P$  no eixo da barra em um ponto a  $36,0 \text{ cm}$  de seu centro.
38. 38. Um disco uniformemente carregado de raio  $35,0 \text{ cm}$  possui uma carga com densidade de  $7,90 \times 10^{-3} \text{ C/m}^2$ . Calcule o campo elétrico no eixo do disco a (a)  $3,00 \text{ cm}$ , (b)  $10,0 \text{ cm}$ , (c)  $50,0 \text{ cm}$  e (d)  $200 \text{ cm}$  de seu centro do disco.
39. 39. Um anel uniformemente carregado de raio  $10,0 \text{ cm}$  possui uma carga total de  $75,0 \mu\text{C}$ . Determine o campo elétrico no eixo do anel a (a)  $1,00 \text{ cm}$ , (b)  $3,00 \text{ cm}$ , (c)  $30,0 \text{ cm}$  e (d)  $100 \text{ cm}$  de seu centro do anel.
40. 40. O campo elétrico no longo do eixo de um disco uniformemente carregado de raio  $R$  e carga total  $Q$  foi calculado no Exemplo 1.9. Determine qual é o campo elétrico a distâncias  $x$ , grandes comparadas com  $R$ , se aproxima do gerado por uma partícula com carga  $Q = \pi R^2 \lambda$ . Aponte: Primeiro, demonstre que  $(x^2 + R^2)^{-3/2} \approx (1 + R^2/x^2)^{-3/2}$  e aplique a aproximação binomial  $(1 + \epsilon)^{-3/2} \approx 1 - \frac{3}{2}\epsilon$  para  $\epsilon \ll 1$ .
41. 41. O Exemplo 1.9 deriva a expressão exata do campo elétrico em um ponto no eixo de um disco uniformemente carregado. Considere um disco de raio  $R = 2,00 \text{ cm}$  com uma carga uniformemente distribuída de  $+3,00 \mu\text{C}$ . (a) Aplicando o resultado do Exemplo 1.8, calcule o campo elétrico em um ponto no eixo  $x$  a  $3,00 \text{ mm}$  do centro. (b) E se? Esboce como a resposta da parte (a) pode ser comparada com o campo calculado com base na aproximação do campo próximo  $E = \sigma/\epsilon_0$ . Derivamos esta expressão no Exemplo 1.9 duas vezes. (c) Aplicando o resultado do Exemplo 1.9, calcule o campo elétrico em um ponto no eixo  $x$  a  $30,0 \text{ cm}$  do centro do disco. (d) E se? Esboce como a resposta da parte (c) pode ser comparada com o campo elétrico obtido ao considerarmos o disco uma partícula carregada de  $+3,00 \mu\text{C}$  à distância de  $30,0 \text{ cm}$ .
42. 42. Uma barra uniformemente carregada do comprimento  $L$  e carga total  $Q$  está posicionada ao longo do eixo  $x$ , como mostra a Figura P1.42. (a) Determine as componentes do campo elétrico no ponto  $P$  no eixo  $y$  a uma distância  $d$  do origem. (b) Quão nítido os valores aproximados das componentes do campo quando  $d \gg L$ ? Esboce por que esses resultados são esperados.



Figura P1.42

43. 43. Uma linha de carga continua ao longo do eixo  $x$  estende-se de  $x = -a$ , ao infinito positivo. A linha possui carga positiva com uma densidade de carga linear uniforme  $\lambda$ . Determine (a) o módulo e (b) o sentido do campo elétrico na origem.

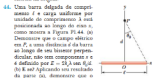


Figura P1.44

44. 44. Uma barra delgada de comprimento  $l$  e carga uniforme por unidade de comprimento  $\lambda$  está posicionada ao longo do eixo  $x$ , como mostra a Figura P1.44. (a) Determine que o campo elétrico em  $P$ , a uma distância  $d$  do eixo  $x$  ao longo de sua bisetora perpendicular, não tem componentes  $x$  e  $z$  e defina por  $E = 2k\lambda \sin \theta_2$  um  $\theta_2$ . (b) E se? Aplicando seu resultado da parte (a), demonstre que o campo de uma barra de comprimento infinito  $E = 2k\lambda/d$ .

45. 45. Uma barra isolante uniformemente carregada de  $34,8 \text{ cm}$  de comprimento  $l$  está localizada na forma de um semicírculo, como mostra a Figura P1.45. A barra tem uma carga total de  $-7,50 \mu\text{C}$ . Determine (a) o módulo e (b) o sentido do campo elétrico em  $O$ , o centro do semicírculo.

Figura P1.45

46. 46. (a) Considere uma superfície cilíndrica de seção transversal com parede delgada e uniformemente carregada com uma carga total  $Q$ , raio  $R$  e comprimento  $l$ . Determine o campo elétrico em um ponto a uma distância  $d$  do lado direito do cilindro, como mostra a Figura P1.46. Sugira: Aplique o resultado do Exemplo 1.8 e trate o cilindro como um conjunto de cargas anulares. (b) E se? Agora, considere um cilindro sólido com as mesmas dimensões e a mesma carga, uniformemente distribuída em seu volume. Aplique o resultado da Figura 1.9 para determinar o campo criado no mesmo ponto.

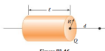


Figura P1.46

### Seção 1.6 Linhas de campo elétrico

47. 47. Uma barra negativamente carregada de comprimento finito possui uma carga uniforme por unidade de comprimento. Esboce as linhas do campo elétrico em um plano que contém a barra.
48. 48. Um disco positivamente carregado tem uma carga uniforme por unidade de área  $\sigma$ , como descrito no Exemplo

1.3. Esboce as linhas do campo elétrico em um plano perpendicular ao do disco que passa através de seu centro.

49. **KA** A Figura P1.49 mostra as linhas do campo elétrico de duas partículas carregadas separadas por uma pequena distância. (a) Determine a razão  $q_1/q_2$ . (b) Qual é o sinal de  $q_1$  e  $q_2$ ?



Figura P1.49

50. Três cargas positivas idênticas  $q$  estão localizadas nos vértices de um triângulo equilátero de lado  $a$ , como mostra a Figura P1.50. Suponha que as três, em conjunto, criem um campo elétrico  $\vec{E}$ . (a) Esboce as linhas do campo no plano da placa. (b) Determine a localização de um ponto (que não o  $\infty$ ) onde o campo elétrico seja igual a zero. Calcule (c) o módulo e (d) o sentido do campo elétrico em  $P$ , estabelecido pelas duas cargas na base.



Figura P1.50

**Seção 1.7 Movimento de uma partícula carregada em um campo elétrico uniforme**

51. **KA** **II** Um próton sai do repouso em um campo elétrico uniforme de 640 N/C. Em um instante posterior, sua velocidade escalar é de 1,20 Mm/s (isto é, milômetros por segundo) e é duas vezes menor que a velocidade da luz. (a) Calcule a aceleração do próton. (b) Ao longo de qual intervalo de tempo o próton alcança essa velocidade? (c) Qual a distância percorrida pela partícula nesse intervalo de tempo? (d) Qual é a energia cinética da partícula ao fim desse intervalo de tempo?
52. **KA** Um próton é projetado no sentido  $x$  positivo para dentro de uma região de campo elétrico uniforme  $\vec{E} = (-6,00 \times 10^5 \text{ N/C}) \hat{i}$ . O próton percorre 7,00 cm até o repouso. Determine (a) a aceleração do próton, (b) sua velocidade escalar inicial e (c) o intervalo de tempo decorrido até o próton permanecer em repouso.

53. Um elétron e um próton são colocados em repouso em um campo elétrico uniforme de módulo 500 N/C. Calcule a velocidade escalar de cada partícula 60,0 ns após ser liberada.

54. **III** Prótons são projetados com uma velocidade escalar inicial  $v_0 = 9,55 \text{ km/s}$  em uma região sem campo elétrico de um plano para dentro de outra, onde um campo elétrico uniforme  $\vec{E} = -795 \text{ N/C}$  está presente acima do plano, como mostra a Figura P1.54. O vetor velocidade inicial das partículas forma um ângulo  $\theta$  com o plano. Os prótons atingem uma poça localizada a uma distância horizontal de  $\vec{R} = 1,17 \text{ mm}$  do ponto, em que cruzam o plano e entra-

rio no campo elétrico. Despreze a distância o ângulo  $\theta$  com o qual os prótons devem passar através do plano para atingir o poço. (a) Que modelo de análise descreve o movimento horizontal das partículas acima do plano? (b) Que modelo de análise descreve o movimento vertical das partículas acima do plano? (c) Demonstre que a Equação 4.13 do Volume 1 seria aplicável aos prótons acima do poço. (d) Aplique essa equação para expressar  $\theta$  em função de  $v_0$ ,  $E$ , da carga  $q$  da massa  $m$  do próton e do ângulo  $\theta$ . (e) Determine os dois valores possíveis dos ângulos  $\theta$ . (f) Determine o intervalo de tempo durante o qual o próton está acima do plano na Figura P1.54 para cada um dos dois valores possíveis de  $\theta$ .

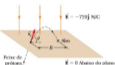


Figura P1.54

55. Cada elétron em um filamento de partículas tem uma energia cinética  $K$ . Determine (a) o módulo e (b) o sentido do campo elétrico que desloca estes elétrons a uma distância  $d$ .
56. Duas placas de metal horizontais, cada uma com 10,0 cm quadrados, estão alinhadas com um espaçamento de 1,00 cm a uma acima da outra. Ambas recebem cargas de mesmo módulo e sinais opostos, de modo que um campo elétrico uniforme descendente de  $2,00 \times 10^5 \text{ N/C}$  é estabelecido na região entre elas. Uma partícula com massa  $2,00 \times 10^{-27} \text{ kg}$  e carga positiva de  $1,60 \times 10^{-19} \text{ C}$  sai do centro da placa negativa inferior com uma velocidade escalar inicial de  $1,00 \times 10^6 \text{ m/s}$  a um ângulo de  $37,0^\circ$  acima da horizontal. (a) Descreva a trajetória da partícula. (b) Qual placa a partícula atinge? (c) Em que ponto, em relação ao ponto de partida, a partícula é atingida?
57. **II** Um próton se move a  $4,50 \times 10^5 \text{ m/s}$  na direção horizontal. A partícula entra em um campo elétrico uniforme vertical com um módulo de  $9,60 \times 10^5 \text{ N/C}$ . Ignorando quaisquer efeitos gravitacionais, determine (a) o intervalo de tempo requerido para que o próton percorra 3,00 cm, na horizontal, (b) sua deslocamento vertical durante o intervalo de tempo no qual percorre 3,00 cm na horizontal e (c) as componentes horizontal e vertical de sua velocidade vertical após percorrer 3,00 cm na horizontal.

**Problemas Adicionais**

58. Três cilindros de plástico idênticos são raios de 2,50 cm e comprimentos de 8,00 cm. Calcule a carga de cada cilindro com base nas informações adicionais a seguir referentes a cada um deles. (a) Cilindro (a) tem uma carga com densidade uniforme de  $15,0 \text{ nC/m}^2$  aplicada na superfície lateral curva. (b) (c) de  $300 \text{ nC/m}^3$  em todo o volume do cilindro.
59. Considere um número infinito de partículas idênticas, cada uma com carga  $q$ , posicionadas ao longo do eixo  $x$  a distâncias  $x, 2x, 3x, 4x, \dots$  da origem. Qual é o campo elétrico na origem gerado por essa distribuição? Sugestão: Aplique

$$1 + \frac{1}{2^2} + \frac{1}{3^2} + \frac{1}{4^2} + \dots = \frac{\pi^2}{6}$$

60. Uma partícula com carga  $-3,00 \text{ nC}$  está localizada na origem, e outra, com carga negativa de módulo  $Q$ , está posicionada em  $x = 50,0 \text{ cm}$ . Uma terceira partícula com carga positiva está em equilíbrio em  $x = 20,0 \text{ cm}$ . Qual é o valor de  $Q$ ?

61. **III** Um bloco pequeno de massa  $m$  e carga  $Q$  é colocado em um plano inclinado sem atrito e sem ar, como mostra a Figura P1.61. Um campo elétrico  $\vec{E}$  aplicado paralelamente à rampa. (a) Determine uma expressão para o módulo do campo elétrico que permite ao bloco permanecer em repouso sobre a rampa. (b) Se  $m = 5,00 \text{ g}$ ,  $Q = -2,00 \text{ nC}$  e  $\theta = 23,0^\circ$ , determine o módulo e o sentido do campo elétrico que permite ao bloco permanecer em repouso sobre a rampa.



Figura P1.61

62. Uma esfera pequena de carga  $q_1 = 0,800 \text{ nC}$  está presa na extremidade de uma mola, como mostra a Figura P1.62a. Quando outra, de carga  $q_2 = -0,600 \text{ nC}$ , é suspensa abaixo da primeira esfera, como na Figura P1.62b, a mola se estica  $d = 3,50 \text{ cm}$  em relação ao seu comprimento original e a esfera se move para uma posição de equilíbrio com uma separação entre as cargas de  $r = 3,00 \text{ cm}$ . Qual é a constante de força da mola?



Figura P1.62

63. Uma linha de carga tem origem em  $x = 0$  e estende ao infinito positivo. A densidade de carga linear é  $\lambda = \lambda_0/x^2$ , onde  $\lambda_0$  é uma constante. Determine o campo elétrico no eixo  $x$ .

64. Uma pequena esfera, de massa  $m = 1,30 \text{ g}$  e carga  $q = -32,0 \text{ nC}$  é conectada à extremidade de uma corda e pendurada verticalmente, como mostra a Figura P1.64. Uma segunda carga de massa igual e carga  $q_2 = -59,0 \text{ nC}$  está localizada abaixo da primeira carga a distância  $d = 2,00 \text{ cm}$  abaixo da primeira carga, como mostra a Figura P1.64. (a) Determine a tensão na corda. (b) Se a corda pode suportar uma tensão máxima de 0,500 N, qual é o menor valor que  $d$  pode ter antes de a corda ser rompida?



Figura P1.64

65. **III** Um campo elétrico uniforme de módulo 640 N/C está presente entre duas placas paralelas separadas por 4,00 cm. Uma partícula é liberada do repouso na placa posi-

ção no mesmo instante em que um elétron é liberado do repouso na placa superior. (a) Determine a distância da placa positiva quando as duas partículas passam uma pela outra. Ignore a atração elétrica entre o próton e o elétron. (b) **K** **II** Repita a parte (a) para um íon sódio ( $\text{Na}^+$ ) e um íon cloreto ( $\text{Cl}^-$ ).

66. Duas pequenas esferas de prata, cada uma com massa de 10,0 g, estão separadas por 1,00 m. Calcule a fração de elétrons em uma esfera que deve ser removida à outra para que uma força atrativa de  $1,00 \times 10^4 \text{ N}$  exista de 1 m de distância seja produzida entre elas. O número de elétrons por íon de prata é 47.

67. **II** Uma bola de cordão carregada de massa 1,80 g está suspensa por uma corda leve na presença de um campo elétrico uniforme, como mostra a Figura P1.67. Quando  $\vec{E} = (2,00 \hat{i} + 8,00 \hat{j}) \times 10^5 \text{ N/C}$ , a bola está em equilíbrio a um ângulo  $\theta = 37,0^\circ$ . Determine (a) a carga na bola e (b) a tensão na corda.



Figura P1.67  
Problemas 67 e 68.

68. Uma bola de cordão carregada de massa  $m$  está suspensa por uma corda leve na presença de um campo elétrico uniforme, como mostra a Figura P1.68. Quando  $\vec{E} = \vec{E} \hat{i}$ , onde  $E$  é um número positivo, a bola está em equilíbrio a um ângulo  $\theta$ . Determine (a) a carga na bola e (b) a tensão na corda.

69. Três partículas carregadas estão alinhadas ao longo do eixo  $x$ , como mostra a Figura P1.69. Calcule o campo elétrico (a) na posição (2,00 m, 0) e (b) na posição (0, 2,00 m).

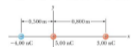


Figura P1.69

70. Duas cargas positivas  $q_1 = -12,0 \text{ nC}$  e  $q_2 = 43,0 \text{ nC}$  estão localizadas no eixo  $x$ .  $A_1$  está na origem, e  $q_2$  está a  $x = 15,0 \text{ cm}$ . A terceira está posicionada de modo que cada partícula carga em equilíbrio sob a ação das forças elétricas exercidas pelas outras duas partículas. (a) Essa situação é possível? Em caso afirmativo, onde é possível em termos de um modelo? Explique. Determine (b) a localização requerida e (c) o módulo e o sinal da força resultante da partícula.

71. Uma linha de carga positiva forma uma semicircunferência de raio  $R = 60,0 \text{ cm}$ , como mostra a Figura P1.71. A carga por unidade de comprimento ao longo da semicircunferência é descrita pela expressão  $\lambda = \lambda_0 \cos \theta$ , em que  $\theta$  é a carga total no semicírculo de raio  $R$ . Calcule



Figura P1.71



a força total exercida sobre uma carga de  $3,00 \mu\text{C}$  colocada no centro de curvatura  $P$ .

72. Quatro partículas carregadas idênticas ( $q = +0,08 \mu\text{C}$ ) estão posicionadas nos vértices de um retângulo, como mostra a Figura P1.72. As dimensões do retângulo são  $L = 60,0 \text{ cm}$  e  $H = 15,0 \text{ cm}$ . Calcule (a) o módulo e (b) o sentido da força elétrica total exercida sobre a carga no vértice inferior esquerdo pelas outras três cargas.



Figura P1.72

73. Duas esferas pequenas estão suspensas em equilíbrio nas extremidades inferiores de filamentos de  $40,0 \text{ cm}$  de comprimento, cujas extremidades superiores estão amarradas ao mesmo ponto fixo. Uma esfera tem massa de  $1,60 \text{ g}$  e carga de  $+80,0 \text{ nC}$ . A outra tem a mesma massa e carga de  $-250 \text{ nC}$ . Determine a distância entre os centros das esferas.

74. Por que a seguinte situação é impossível? Um sistema está em uma região de campo elétrico uniforme entre duas placas paralelas. Essas são utilizadas em um tubo de raios catódicos para apontar a posição de um feixe de elétrons em uma tela fluorescente distante. O módulo do campo elétrico entre as placas é de  $100 \text{ N/C}$ . Elas têm  $0,500 \text{ m}$  de comprimento e estão separadas por  $1,50 \text{ cm}$ . O elétron move na região a uma velocidade de  $3,00 \times 10^6 \text{ m/s}$ , deslocando-se paralelamente ao plano das placas em direção à sua posição correta na tela fluorescente.

75. Revisão. Dois blocos idênticos são repousos sobre uma superfície horizontal sem atrito sendo ligados por uma mola leve de constante elástica  $k = 100 \text{ N/m}$  e um comprimento não estendido  $L_0 = 0,400 \text{ m}$ , como mostra a Figura P1.75a. Uma carga  $Q$  é colocada cuidadosamente sobre cada bloco, formando um que a mola se estique até um comprimento de equilíbrio  $L = 0,300 \text{ m}$ , como mostra a Figura P1.75b. Determine o valor de  $Q$ , modelando os blocos como partículas carregadas.



Figura P1.75 Problemas 70 e 78

76. Revisão. Dois blocos idênticos são repousos sobre uma superfície horizontal sem atrito sendo ligados por uma mola leve de constante elástica  $k$  e um comprimento não estendido  $L_0$ , como mostra a Figura P1.76a. Uma carga  $Q$  é colocada cuidadosamente sobre cada bloco, fazendo com que a mola se estique até um comprimento de equilíbrio  $L$ , como mostra a Figura P1.76b. Determine o valor de  $Q$ , modelando os blocos como partículas carregadas.

77. Três cargas pontuais idênticas, cada uma com massa  $m = 0,100 \text{ kg}$ , estão suspensas por três cordas, como mostra a Figura P1.77. Se o comprimento das cordas esquerda e direita for  $L = 80,0 \text{ cm}$  e o ângulo  $\theta$  for  $45,9^\circ$ , determine o valor de  $q$ .

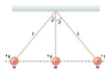


Figura P1.77

78. Demonstre que o módulo máximo  $E_{\text{max}}$  do campo elétrico ao longo do eixo de um anel uniformemente carregado ocorre a  $x = a/\sqrt{2}$  (veja a Fig. 1.15) e seu valor  $Q/(6\sqrt{2}\pi\epsilon_0 a^2)$ .

79. Duas esferas de borracha seca, cada uma com massa  $m = 13,0 \text{ g}$ , são esfregadas com um pedaço de pele em um dia seco e, depois, sempre por dois cordões isolantes de comprimento  $L = 8,00 \text{ cm}$ , cujas pontas de apoio estão a uma distância  $d = 8,00 \text{ cm}$  em um dia úmido, como na Figura P1.79. Ao ser esfregadas, uma das esferas recebe exatamente o dobro da carga da outra. As esferas suspensas são observadas em equilíbrio, cada uma a um ângulo  $\theta = 30,9^\circ$  com a vertical. Determine a quantidade de carga em cada esfera.



Figura P1.79

80. Duas cargas idênticas têm massa  $m$  e carga  $q$ . As esferas são colocadas em uma base hemisférica de raio  $R$  com paredes não condutoras e são acionadas, elas se deslocam e se equilibram, permanecendo separadas por uma distância  $d$  (Fig. P1.80). (a) Determine a carga  $q$  em cada esfera. (b) Determine a carga requerida para que  $d$  se iguale a  $2R$ .



Figura P1.80

81. Duas esferas pequenas de massa  $m$  estão suspensas por cordas de comprimento  $l$  ligadas em um ponto comum. Uma esfera tem carga  $Q$  e a outra,  $2Q$ . As cordas formam ângulos  $\theta_1$  e  $\theta_2$  com a vertical. (a) Escreva como  $\theta_1$  e  $\theta_2$  se relacionam do Sagnonha que  $\theta_1$  e  $\theta_2$  sejam pequenos. Demonstre que a distância  $d$  entre as esferas é aproximadamente

$$r = \left( \frac{4l^2 Q^2 q^2}{mg} \right)^{1/3}$$

82. Revisão. Uma partícula suspensivamente carregada  $-q$  é colocada no centro de um anel uniformemente carregado que possui uma carga positiva total  $Q$ , como mostra a Figura P1.82. A partícula, inicialmente a ser mover ao longo do eixo  $x$ , é deslocada a



Figura P1.82

uma certa distância  $x$  ( $x \ll a$ ) nesse eixo e solta. Demonstre que a partícula oscila em um movimento harmônico simples com uma frequência definida por

$$f = \frac{1}{2\pi} \sqrt{\frac{3kQq}{2ma^3}}$$

83. Uma bola de cortiça de  $1,50 \text{ g}$  com carga de  $\mu\text{C}$   $5,00$  está suspensa verticalmente em uma corda leve de  $0,800 \text{ m}$  de comprimento, na presença de um campo elétrico uniforme decrescente de intensidade  $E = 1,00 \times 10^3 \text{ N/C}$ . Se a bola for deslocada ligeiramente em relação à vertical, ela oscila com um período simples. (a) Determine o período desse oscilção. (b) O eixo  $x$  da gravitação deve ser incluído no círculo para a parte (a) da Eq. 14.16.

### Problemas de Desafio

84. Barras delgadas idênticas de comprimento  $2a$  possuem cargas iguais  $+Q$  distribuídas uniformemente ao longo de sua extensão. As barras estão posicionadas ao longo do eixo  $x$ , e seus centros, separados por uma distância  $b > 3a$  (Fig. P1.84). Demonstre que o módulo da força exercida pela barra esquerda sobre a direita é

$$F = \left( \frac{kQ^2}{4a^2} \right) \ln \left( \frac{b^2}{b^2 - 4a^2} \right)$$

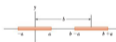


Figura P1.84

85. Duas partículas carregadas, cada uma com módulo  $q$ , estão posicionadas nos cantos de um cubo de borda  $l$ , como mostra a Figura P1.85. (a) Determine as componentes  $x$ ,  $y$  e  $z$  da força total exercida sobre a carga localizada no canto  $A$  pelas outras cargas. Qual é (b) o módulo e (c) o sentido da força total? (d) Determine a distribuição de carga mostrada na Figura P1.85. (e) Demonstre que o módulo do campo elétrico em qualquer face do cubo tem um valor de  $1,80 kq/l^2$ . (f) Qual é o sentido do campo elétrico no centro da face superior do cubo?

Figura P1.85 Problemas 85 e 86

86. Considere a distribuição de carga mostrada na Figura P1.85. (a) Demonstre que o módulo do campo elétrico em qualquer face do cubo tem um valor de  $1,80 kq/l^2$ . (b) Qual é o sentido do campo elétrico no centro da face superior do cubo?
87. Revisão. Um dipolo elétrico em um campo elétrico horizontal uniforme é ligeiramente deslocado de sua posição de equilíbrio, como mostra a Figura P1.87, onde  $\theta$  é pequeno. A separação entre as cargas  $\pm q$ , em uma das duas partículas possui massa  $m$ . (a) Supondo que o dipolo seja liberado desse ponto, demonstre que sua oscilação angular descreve um movimento harmônico simples com uma frequência

$$f = \frac{1}{2\pi} \sqrt{\frac{3kqQ}{2ml}}$$

Se  $\theta$  (b) Suponha que, apesar de continuar a ser a mesma carga  $q$ , as duas partículas carregadas do dipolo tenham massas diferentes. Suponha que as massas das partículas sejam  $m_1$  e  $m_2$ . Demonstre que a frequência da oscilação, nesse caso, é dada por

$$f = \frac{1}{2\pi} \sqrt{\frac{3kqQ(m_1 + m_2)}{2m_1 m_2 l}}$$



Figura P1.87

88. Inez prepara a decoração para a festa de debutante de sua irmã. Ela amarra três fios de seda juntos no alto de um pérgico e pendura um balão de borracha em cada fio (Fig. P1.88). Para incluir os efeitos das forças gravitacionais e de tensão no sistema, cada balão pode ser modelado como uma partícula de massa igual a  $2,00 \text{ g}$  com seu centro a  $90,0 \text{ cm}$  do ponto de apoio. Inez estende toda a superfície de cada balão com um cachecol de lã, fazendo com que os balões fiquem suspensos e separados do resto. Quando deslocados para cima, Inez nota que os centros dos balões suspensos formam um triângulo equilátero horizontal com lados de  $30,0 \text{ cm}$ . Qual é a carga comum de cada balão?



Figura P1.88

89. Uma linha de carga com densidade uniforme  $50,0 \mu\text{C/m}$  está posicionada ao longo da linha  $y = -15,0 \text{ cm}$  entre os pontos com coordenadas  $x = 3 \text{ e } x = 60,0 \text{ cm}$ . Calcule o campo elétrico criado na origem.
90. Uma partícula de massa  $m$  e carga  $q$  move-se com alta velocidade ao longo do eixo  $x$ . Sua posição inicial é próxima a  $x = -a$  e final, próxima a  $x = +a$ . Uma segunda carga  $Q$  está fixa no ponto  $x = 0$ ,  $y = +a$ . Quando a carga móvel passa pela carga estacionária, a componente  $z$  de sua velocidade vertical não muda de modo significativo, mas adquire uma pequena velocidade no sentido  $y$ . Determine o ângulo de deflexão da carga móvel em relação ao sentido de sua velocidade inicial.
91. Duas partículas, cada uma com carga de  $32,0 \text{ nC}$ , estão localizadas no eixo  $y$  em  $y = 23,0 \text{ cm}$  e  $y = -23,0 \text{ cm}$ . (a) Determine o campo elétrico vetorial em um ponto do eixo  $x$  a uma distância de  $x$ . (b) Calcule o campo em  $x = 26,0 \text{ cm}$ . (c) Em que posição o campo é igual a  $1,00 \text{ kN/C}$ ? Pode ser conveniente utilizar um computador para resolver essa equação (d) Em que posição o campo é  $16,0 \text{ kN/C}$ ?